

UNIVERSIDAD DE LA LAGUNA

Facultad de Químicas
Departamento de Química Orgánica

Escuela Universitaria Politécnica de Las Palmas de Ga Ca.
Cátedra de Química

" EXPLORACION QUIMIOTAXONOMICA DE LAS LAURACEAS Y
OTRAS FAMILIAS DE ENDEMISMOS CANARIOS "

MEMORIA

que para aspirar al
Grado de Licenciado
en Ciencias Químicas
presenta

Miguel Ángel Suárez de
Tangil Navarro

La Laguna, Junio de 1979

El presente trabajo de Licenciatura en Químicas (Tesis), ha sido realizado en los Laboratorios de Química Orgánica de la Escuela Universitaria Politécnica de Las Palmas de Gran Canaria, bajo la dirección del Dr. D.Rafael Estévez Poyes, Catedrático de Química de dicho Centro, habiendo sido supervisado durante su desarrollo por el Catedrático-Jefe del Departamento de Química Orgánica de la Universidad de La Laguna Prof.Dr.González y González, a quienes expreso mi agradecimiento por los aperturales consejos que han permitido llevar a feliz término este trabajo.

A los Viejos con todo mi
amor y con toda mi
gratitud

Oscar

"EXPLORACION QUIMIOTAXONOMICA DE LAS LAURACEAS Y
OTRAS FAMILIAS DE ENDEMIOS CANARIOS "

Las especies endémicas canarias de la familia de las Lauráceas no han sido estudiadas. En otras Lauráceas han sido encontrados polialcoholes, ácidos, compuestos aromáticos, etc.⁽¹⁾; en las Lauráceas brasileñas se han aislado ultimamente nuevos y numerosos neo-lignanos, sustancias de acción antitumoral⁽²⁻¹⁰⁾. Gotlieb comunicó⁽¹¹⁾ la Quimiosistemática de las Lauráceas atendiendo al estudio de los alcaloides, flavonoides, terpenoides y aryl propanoides, lignanos y neo-lignanos, obtenidos de estas especies.

Con las Umbelíferas canarias ya se ha iniciado el estudio de la *Ferula linkii*, habiendo aislado un nuevo sesquiterpeno⁽¹²⁾, y de la *Astydamia canariensis* los aceites esenciales de los frutos⁽¹³⁾. De la *Bupleurum salicifolium* ya hemos aislado y caracterizado algunos lignanos.

En las Guttíferas de fuera se han citado productos fenólicos policíclicos, flavonas, glucósidos, hidrocarburos terpénicos, etc.⁽¹⁾, habiendo sido hecho un estudio quimiotaxonómico basado en la composición de los aceites esenciales, en el cual se hace mención del *Hypericum canariensis*⁽¹⁴⁾.

Este trabajo consiste en la iniciación de la exploración sistemática de las especies endémicas de las Islas Canarias, de algunas familias, Lauraceas y Guttíferas no estudiadas y poco estudiadas como las Umbelíferas, para su ulterior estudio, atendiendo a la distribución de las ceras en las hojas y frutos.

los frutos, desde 0'06 % (A.ceballos) a 0'20 % en la Persea indica (aceite amarillo-rojizo). Las Umbelíferas y Guttíferas rinden un 0'1 %.

Cada uno de los extractos de éter de petróleo se cromatografió en columna de gel de sílice con 20 por ciento de nitrato de plata, eluyendo con éter de petróleo, éter de petróleo/benceno al 5 % y éter de petróleo-benceno al 20 % y benceno.

Las productos de las fracciones eluidas con éter de petróleo muestran en los espectros infra-rojo y RMN solamente los picos de los alcanos (ν_{max} 2980, 2920, 2845, 1468, 1380, 732 y 722 cm^{-1} ; $\tau = 8'76$ intenso, $-CH_2-$, y $9'08\tau$, CH_3 terminal).

Los rendimientos en alcanos de las hojas de las Lauráceas se encuentran entre 0'007 % en la P.indica a 0'093 en la O.footens. En los frutos de 0'018 (P.indica) a 0'029 (A.ceballos). Las Umbelíferas 0'05 % y las Guttíferas 0'04 %.

Los alcanos fueron identificados por cromatografía gas-líquido⁽¹⁶⁾, utilizando muestras de alcanos o los tiempos de retención⁽¹⁷⁾⁽¹⁸⁾. Los porcentajes en moles de los alcanos se determinaron calculando las áreas de los picos por el método de triangulación. Los resultados obtenidos se dan en la TABLA V.

En las Lauráceas, el nálcano C_{33} solamente se encontró en las hojas (35-%) y en los frutos (60%) de la Apollonia ceballos. Predominan los alcanos de número par de átomos de carbono, así, en las hojas de L.canariensis ($C_{27}+C_{29}+C_{31} = 81\%$), Ocotea footens (95%) y A.ceballos (96%); en la P.indica $C_{25}+C_{27}$ = 64 %. En los frutos O.footens $C_{27}+C_{29}+C_{31} = 83\%$, P.indica, $C_{29}+C_{31}+C_{33} = 96\%$, A.ceballos $C_{29}+C_{31}+C_{33} = 98\%$. Las relaciones C_{31}/C_{29} y C_{29}/C_{27} son mayores en las hojas y frutos de la A.ceballos que en las otras especies, indicativo de un mayor desarrollo evolutivo⁽¹⁹⁾.

Los iso-alcanos se encontraron solo en las hojas de la *A. ceballos* ($C_{27}+C_{29}+C_{31} = 64\%$) y en los frutos de la *O. footens* ($C_{29}+C_{31} = 76\%$).

De las Umbelíferas endémicas estudiadas, prácticamente, solo en la *Ferula linkii* se encuentra el C_{30} (3%) y el C_{31} (41%). En la *Bupleurum* predomina el C_{25} ($C_{25}+C_{27} = 60\%$), en la *Astudamia canariensis* el iso-alcano C_{27} ($C_{25}+C_{27} = 57\%$), en la *F. linkii* el n- C_{31} (iso- $C_{29}+C_{31} = 72\%$) y en la *P. hortense* el C_{29} ($C_{27}+C_{29} = 65\%$).

Las dos Guttíferas estudiadas solo mostraron n-alcanos que llegan hasta 29 átomos. Presentan una notable diferencia pues mientras en la *Hypericum reflexum* predominan los alkanos de número impar de átomos de carbono ($C_{27}+C_{25} = 65\%$), en el *H. cauariensis* son los de número par ($C_{24}+C_{26} = 57\%$), una anomalía rara en las plantas. En la Bibliografía consultada únicamente llegan casi a igualarse los pares e impares en los troncos de la *Saraca indica L.* (Leguminosae) ⁽²⁰⁾.

Las sustancias de las fracciones eluidas con éter de petróleo/benceno (95:5), dan en los espectros RMN multipletes de baja intensidad entre 4 y 5'5 atribuibles a protones olefínicos. Es de destacar el elevado rendimiento que dieron los frutos de la *P. indica*, 0'12%, con relación a los frutos empleados, sin embargo estos alquenos de largas cadenas no se encontraron en los frutos de la *O. footens*, ni de la *A. ceballos*; tampoco en las Guttíferas, ni en la *A. canariensis*.

Los alquenos se identificaron por cromatografía de gases, utilizando muestras de monoalquenos o por los tiempos de retención.

De forma similar a lo ocurrido con los alcanos, con estos alquenos, también existen notables diferencias, ver la TABLA VI,

Los iso-alcanos se encontraron solo en las hojas de la *A. ceballos* ($C_{27}+C_{29}+C_{31} = 64\%$) y en los frutos de la *O. footens* ($C_{29}+C_{31} \pm 76\%$).

De las Umbelíferas endémicas estudiadas, prácticamente, solo en la *Ferula linkii* se encuentra el C_{30} (3%) y el C_{31} (41%). En la *Bupleurum* predomina el C_{25} ($C_{25}+C_{27} = 60\%$), en la *Astudamia canariensis* el iso-alcano C_{27} ($C_{25}+C_{27} = 57\%$), en la *F. linkii* el n- C_{31} (iso- $C_{29}+C_{31} = 72\%$) y en la *P. hortense* el C_{29} ($C_{27}+C_{29} = 65\%$).

Las dos Guttíferas estudiadas solo mostraron n-alcanos que llegan hasta 29 átomos. Presentan una notable diferencia pues mientras en la *Hypericum reflexum* predominan los alcanos de número impar de átomos de carbono ($C_{27}+C_{25} = 65\%$), en el *H. canariensis* son los de número par ($C_{24}+C_{26} = 57\%$), una anomalía rara en las plantas. En la Bibliografía consultada únicamente llegan casi a igualarse los pares e impares en los troncos de la *Saraca indica L.* (Leguminosae) ⁽²⁰⁾.

Las sustancias de las fracciones eluidas con éter de petróleo/benceno (95:5), dan en los espectros RMN multipletes de baja intensidad entre 4 y 5'5 atribuibles a protones olefinicos. Es de destacar el elevado rendimiento que dieron los frutos de la *P. indica*, 0'12%, con relación a los frutos empleados, sin embargo estos alquenos de largas cadenas no se encontraron en los frutos de la *O. footens*, ni de la *A. ceballos*; tampoco en las Guttíferas, ni en la *A. canariensis*.

Los alquenos se identificaron por cromatografía de gases, utilizando muestras de monoalquenos o por los tiempos de retención.

De forma similar a lo ocurrido con los alcanos, con estos alquenos, también existen notables diferencias, ver la TABLA VI,

No se detectaron iso-alquenos y mientras predominan los de número par de átomos de carbono en el *L.canariensis* ($C_{24}+C_{26}+C_{28}+$ $C_{30} = 69\%$) y en la *P.indica* ($C_{26}+C_{28}+C_{30} = 71\%$), en la *A.ceballos* predominan los de nº impar ($C_{27}+C_{29} = 54\%$). En el *Bupleurum salicifolium* predominan los pares ($C_{26}+C_{28} = 58\%$), en la *F.linkii* domina el de C_{26} y en conjunto están muy igualados los pares (48'2%) y los impares (51%), mientras en la *P.hortense* hay un claro predominio de los Impares ($C_{27} = 54\%$).

Los productos eluidos con éter de petróleo/benceno (80:20), dan en las cromatografías en capa fina una o dos manchas casi juntas, con R_f menor que 0'5) que los alquenos eluidos con éter de petr./benceno (95:5). Los espectros infra-rojo de algunos extractos solo dan bandas de absorción de alquenos, como el de las hojas de la *A.ceballos* (ν_{max} 3040, 1645, 992 y 912 cm^{-1}), otros como los de la *B.salicifolium* dan picos de grupos carbonilo (ν_{max} 1738, 1272 y 1175 cm^{-1}) y de olefinas (ν_{max} 958 y 920 cm^{-1}), otros como los frutos de la *P.indica* dan numerosas bandas de insaturación y de grupos éster. Los espectros RMN del extracto de la *B.salicifolium* muestran dos tripletes, uno a 6'0 τ y el otro a 7'72 τ que pueden atribuirse a los metilenos de grupos éster, $CH_2-OC\overset{\text{O}}{\sim}CH_2-$; el de los frutos de la *P.indica* dió una gran cantidad de picos, multipletes, entre 3'7 y 5'5 τ , así como entre 7'3 y 8'5 τ , atribuibles a protones olefínicos, algo similar ocurre con los de la *O.footens*, etc.

Por cromatografía gas-líquido se obtuvieron los resultados dados en la TABLA VII, que muestran claras diferencias entre las diferentes muestras.

Actualmente se procede a la separación de las olefinas y esteres, para su identificación.

PARTE EXPERIMENTAL

PARTE EXPERIMENTAL

Los espectros IR se hicieron en un espectrofotómetro Perkin-Elmer modelo 257 en film, los RMN en Perkin - Elmer modelo R 24 B, en deutero cloroformo y tetrametil silano como referencia interna.

Las cromatografías de gases fueron realizadas en un chromatógrafo Perkin - Elmer modelo F - 11, a temperatura fija y 5 mm/min. de velocidad de carta.

Plantas estudiadas:

Familia de las Lauráceas:

Gen. *Laurus*

Laurus canariensis

Gen. *Ocotea*

Ocotea foetens

Gen. *Persea*

Persea indica

Gen. *Apollonia*

Apollonia ceballos

Familia de las Umbelíferas

Gen. *Bupleurum*

B. gallicifolium

Gen. *Astydaniis*

A. canariensis

Gen. *Panax*

P. Linkii

Gen. *Petroselinum*

P. hortense Hoffmann (no confirmada)

Familia de las Cistáceas

Ceratopyxis canariensis

H. canariensis

H. reflexum

Extracción.-

Las hojas y frutos de las especies anteriores fueron extraídas por sucesivas maceraciones con cloroformo. Los frutos fueron secados, molidos reducidos a polvo y extraídos de nuevo con el mismo disolvente.

Los resultados se dan en la TABLA I

TABLA I

Resultados de la extracción con CHCl_3

Especie	Hojas ext.	Frutos ext.	Extraido con cloroformo	Porcentaje con relación a las hojas o frutas secos
<i>Buxus canar.</i>	150 gr	-	6'25 gr	4'17
<i>Cotula foetens</i>	150		6'17	4'11
" "		19 gr (17 segundos)	2'31	13'59
<i>Ficaria verna</i>	150		4'27	2'85
" "		225 (50 segundos)	13'18	26'36
<i>Milliera cab.</i>	150		4'10	2'73
"		345 (120 segundos)	17'83	14'66
<i>Malva sal.</i>	100	-	8'12	8'12
<i>Microseris com.</i>	150	-	4'33	2'89
<i>Myrsinella linkii</i>	35	-	2'72	7'77
<i>Potentilla alpina hirt.</i>	60	-	1'75	2'92
<i>Ranunculus canar.</i>	85	-	12'66	14'39
<i>Thlaspi canescens</i>	110	-	7'94	7'22

Cromatografía en columna.

Los extractos de cloroformo fueron cromatografiados a través de columnas de óxido de aluminio con 10 por ciento de agua (actividad IV). Las cabezas de las columnas se prepararon con los extractos y la menor cantidad posible de alúmina inactiva.

Se emplearon unos 30 gr de alúmina por cada gramo de extracto.

Los cromatogramas se eluyeron con unos 50 ml de cada uno de los eluyentes por cada gramo de extracto.

Eluyentes utilizados:

Eter de petróleo p.eb.50-70°

Eter de petróleo p.eb.50-70°/ benceno (1:1)

Benceno

Benceno / Cloroformo (1:1)

Cloroformo

Acetona

Mctanol

Etanol

Etanol/agua (1:1)

En la TABLA II se dan las cantidades de óxido de aluminio y eluyentes utilizados en la chromatografía de cada uno de los extractos.

TABLA II

Especie	Peso de Al_2O_3 usado	ml de cada uno de los eluyentes usados
S. esculentus	370 gr	650 ml
C. cerasus, hojas	195	116
" " , frutos	69	115
C. sinensis, hojas	128	216
" " , frutos	395	555
A. esculentus, hojas	123	209
" " , frutos	535	890

<i>B.salicifolium</i>	240	405
<i>A.canariensis</i>	129	216
<i>F.linkii</i>	82	135
<i>P.hortense</i>	51	85
<i>H.canariensis</i>	370	630
<i>H.reflexum</i>	238	400

Las fracciones aparecieron coloreadas en la elución con cloruroformo o acetona. En el desarrollo del cromatograma de la *F.linkii* todas las fracciones resultaron incoloras.

Análisis exploratorio por cromatografía en capa fina.-

Se utilizaron placas finas preparadas de forma usual: 60 ml de agua y 30 gr de gel de sílice para c.c.f., extendidas para un grosor de 0'25 mm y secadas a 120 ° durante unas dos horas.

Fracciones de éter de petróleo

Eluyente, éter de petróleo

Reactivo revelador: Oleum, calentando a 110°.

En todos los cromatogramas los alkanos y los alquenos aparecen autorizados con el frente del eluyente.

Todas las muestras de los extractos de las Lauráceas dieron una mancha de Rf aproximado a 0'5. En el de los frutos de la *F.l.* se observaron varias manchas, dos violáceas, una naranja, una blanquecina cercana al frente de elución, etc.. De las Gutiéreas solo la *H.reflexum* dió una mancha cercana al frente.

Fracciones de éter de petróleo-benceno (1:1).-

Eluyente, éter de petróleo / benceno (1:1).

Se observan manchas en todos los extractos. En el *P.hortense* aparecieron numerosos productos netamente separados, una de ellos Rf próximo a 0'5 rojo al visible. Con otros extractos se

formaron largas colas.

Eluyente óter de petróleo / Cloroformo (8:3)

Con luz UV se observan tres manchas fluorescentes en la P.indica, así como dos rojas y entre estas una oscura (negra). También se apreciaron manchas fluorescentes al UV en la O.foetens, P. hortense y A.canariensis.

Revelando con óleum aparecieron gran cantidad de manchas, lo que nos indicó la presencia de muchos productos en esta fracción de óter de petróleo / benceno (1:1). Una mancha de fluorescencia azul parece común en las dos Gutíferas y tres de las Lauráceas, L.canariensis, frutos de P.indica y frutos de A.ceballos.

Fracciones de benceno.-

Eluyente, cloroformo

Revelador, Oleum y luz UV.

En estas fracciones se eluyen productos esteroideos, pues utilizando como referencia comparativa una muestra de -sitosterol, casi todos los extractos dieron manchas con valores de Rf y coloraciones similares a las del β -sitosterol. El extracto de la P.indica dió productos fluorescentes a la luz UV; este último extracto juntamente con la A.canariensis, F.linkii, O.foetens, A.ceballo y los frutos de la O.foetens dan una serie de manchas en la misma zona de la placa.

Fracciones de benceno / cloroformo (1:1).

Eluyente, CHCl_3 .

Casi todos los productos aparecidos en las placas quedaron a una altura aproximada al β -sitosterol.

El extracto de P.hortenso dió numerosas manchas visibles a la luz UV, sobre todo después de alcalinizar las placas con solución acuosa de CO_3Na_2 al 2 % (cumarinas). La A.canariensis también mostró algunas manchas fluorescentes al UV, mientras que la F.linkii las dió con fluorescencia muy atenuada.

B.salicifolium y *A.canariensis* dan una mancha de fluorescencia azul al UV con el mismo Rf (escoparona).

Fracciones de cloroformo.-

Eluyente, Cloroformo / Acet. de etilo (95:5)

El *P.hortense* mostró numerosas manchas fluorescentes a la luz UV. En la *F.linkii* aparece la primera sustancia fluorescente a la luz UV con completa nitidez. Con este eluyente aparecieron colas impidiendo una buena separación.

Eluyendo las placas con Cloroformo se observaron las mismas manchas que con el eluyente anterior, y otras en la *A.caballos* y los frutos de la *O.footens* y la *P.indica*.

Fracciones e cloroformo:acetona (1:1).-

Eluyendo con $\text{CHCl}_3/\text{EtOH}$ (95:5), los productos quedaron bastante retenidos, no obstante se apreciaron numerosas manchas en todos los extractos, especialmente en la *F.linkii*,

Estudio de los extractos de éter de petróleo.-

Los resultados de la cromatografía en columna de Al_2O_3 referentes a los eluatos de éter de petróleo se dan en la TABLA III.

TABLA III

<u>Extractos de éter de petróleo</u>					
Especie	Aspecto de los extr.	Peso del extracto	Rto. con relación al extr. de cloroformo	Rto. con relación a las hojas o frutos secos.	
<i>L.canariensis</i>	amarillento	0'121 gr	1'94	0'08	
<i>O.footens</i> , hoj.	blanquecino	0'266	4'31	0'13	
"	frut.	0'028	1'21	0'16	
<i>P.indica</i> , hojas	amarillento	0'073	1'71	0'05	
"	frutos amarillo-rojo (accione)	0'995	7'55	0'20	

A.ceballos, hoj.blanquecino	0'236	5'76	0'02
" , frut. "	0'076	0'43	0'06
B.salicifolium blanquecino	0'144	1'77	0'14
A.canariensis "	0'100	2'31	0'07
F.linkii "	0'035	1'29	0'10
P.hortense verde pálido	0'034	2'00	0'06
H.canariensis blanquecino	0'063	0'50	0'07
H.rufescens "	0'082	1'03	0'07

Separación de alcanos y alquenos. Cromatografías en columna de gel de sílice-nitrato de plata.-

La gel de sílice se preparó por adición lenta y agitación de una solución de 14 gr de NO_3Ag en 100 ml de agua, sobre 70 gr de gel de sílice de 0'2 - 0'062, dejada 24 horas en una estufa a 120°, usándose una hora después de sacada de la estufa.

Los cluyentes que se pasaron sucesivamente por cada una de las columnas fueron,

Eter de petróleo

Eter de petróleo / benceno (95:5)

Eter de petróleo / benceno (80:20) y

Benceno.

Los resultados de la cromatografía se exponen en la
TABLA IV.

TABLA IV

Cromatografía del extracto de ceras, en columna de gel de sil.+NO₃AC

Especie	Producto eluido con									
	éter de petróleo			éter de petr./ éter de petrol./ benceno(95:5)			éter de petrol./ benceno (80:20)			
	Peso	% A	% B	Peso	% A	% B	Peso	% A	% B	
L.canariensis.	0'064	52'9	0'043	0'011	9'1	0'017	0'015	12'4	0'010	
O.foetens, hoj.	0'140	52'6	0'093	0'009	33'8	0'006	0'056	21'1	0'037	
" , frut.	0'012	42'9	0'063	-	-	-	0'005	17'9	0'026	
P.indica, hoj.	0'010	13'7	0'007	0'010	13'7	0'007	0'041	56'2	0'027	
" , frut.	0'009	0'9	0'018	0'062	6'2	0'124	0'100	10'1	0'200	
A.caballos, h.	0'100	42'4	0'023	0'029	12'3	0'019	0'108	45'8	0'072	
" frut	0'035	46'1	0'029	-	-	-	0'015	19'7	0'013	
Bupleurum sal	0'055	38'2	0'055	0'007	4'9	0'007	0'047	32'6	0'047	
Astydamia can	0'069	69'0	0'046	-	-	-	0'028	28'0	0'019	
Ferula linkii	0'016	45'7	0'046	0'004	11'8	0'011	0'005	14'3	0'014	
P.hortense	0'008	23'5	0'013	0'005	14'7	0'008	0'020	14'7	0'030	
Hyper. canar.	0'032	50'1	0'038	-	-	-	0'010	15'9	0'012	
Hyper. reflex.	0'040	48'8	0'036	-	-	-	0'018	22'0	0'016	

% A porcentaje con relación al extracto de éter de petróleo
 % B " " " a las hojas o frutos.

Estudio de las fracciones eluidas con éter de petróleo
en las columnas de gel de sílice-nitrato de plata.-

En las chromatografías en capa fina del gel de sílice con 2% de nitrato de plata, cluyendo con n-hexano, los extractos se tratan de petróleo de las fracciones de todas las plantas anteriormente separadas por el frente del disolvente. Como reactivo revelador se usó solución acuosa al 0'5% de Rodamina 6G.

Los espectros IR muestran solamente las bandas de absor-

ción de los alcanos: ν_{max} 2980, 2920, 2845, 1468, 1380, 722 y 732 cm^{-1} .

En RMN dan un pico muy intenso a 8'76 ($-\text{CH}_2-$) y un triplete muy poco intenso a 9'08 (CH_3 terminal).

Cromatografía gas-liquido.-

Condiciones experimentales:

Columna OV-11 al 3% sobre cromosor®

Temperatura, 240°

Sensibilidad, 2×10^2

Flujo de gas, 5 ml/min.

Las muestras se inyectaron disueltas en cloroformo.

La identificación de los picos se realizó utilizando muestras patrón de n-alcanos. Las áreas de los picos fueron determinadas por el método de triangulación gráfica y el porcentaje en moles de cada uno de los picos como cociente entre el área de cada pico y la suma de todos los picos, multiplicando por 100

Los resultados obtenidos se exponen en la TABLA V

TABLA V

Por ciento en moles de los alcanos

	<u>Nº de átomos de C</u>												
	21	22	23	24	25	26	27	28	29	30	31	32	33
L.can.	tr	tr	tr	0'1	3'5	6'3	30'1	9'3	33'9	tr	16'9	-	-
O.foe. (hoj.)	0'9	tr	1'8	0'2	14'4	0'7	38'2	0'9	42'1	tr	tr	-	-
O.foe. (frut)	1'3	2'5	3'7	2'0	4'2	tr	10'0	tr	35'6	tr	40'5	tr	-
P.ind. hojas	tr	1'6	5'2	9'1	16'4	5'8	24'4	3'9	24'1	0'6	9'0	-	-
P.ind. frutos	1'0	tr	4'1	3'0	6'8	0'9	13'5	tr	36'7	tr	30'5	tr	-
A.cob. (hojas)	tr	tr	tr	0'1	0'2	0'2	2'7	0'1	23'3	0'2	37'6	0'5	35'2
A.cob. frutos	tr	tr	tr	0'1	0'9	tr	2'0	tr	5'3	tr	32'5	tr	60'0
Bup.sa	2'1	4'4	8'4	6'2	36'5	4'8	23'9	1'4	11'6	-	-	-	-
Ast.ca	1'4	3'1	8'8	8'1	24'0	9'6	32'7	4'6	8'7	-	tr	-	-
Fer.li	6'4	0'4	1'5	0'9	4'4	0'9	9'3	1'3	30'6	2'8	41'4	-	-
P.hort	0'6	1'4	8'8	2'1	17'2	0'9	12'5	0'7	52'2	-	3'7	-	-
Hy.can	15'3	1'0	2'3	39'9	7'8	16'7	8'6	2'7	5'5	-	-	-	-
Hy.ref	0'9	3'2	3'1	9'9	29'7	8'0	35'7	tr	7'1	-	-	-	-
" "	C ₂₀	2'4											

Tr trazas
- no encontrado
2'1 sub-rayado iso-alcano

Estudio de las fracciones eluidas con éter de petróleo/

Benceno (95:5).-

En las cromatografías en capa fina del gel de sílice-nitrato e mlate, los extractos de las fracciones eluidas con éter de petróleo/benceno (95:5) (Ver TABLA IV), cluyendo con n-hexano dan una mancha rojiza (con Rodamina 6G) con Rf alto. como debe corresponder a los alcanos con cadena alquilica muy grande. En RMN muestran multipletos de baja intensidad entre 4 y 5'5 τ .

Identificación de los alquenos por cromatografía gas-líquido.-

Condiciones experimentales:

Columna , Dexil

Tdperatura, 210°

Flujo de gas, 9 ml/min.

Sensibilidad, 1×10^2

Los resultados obtenidos se dan en la TABLA VI

TABLA VI

Cromatografía gas-líquido de los alquenos eluidos con Pe/Be (95:5)

Hojas	Porcentaje en moles. N° de átomos de C										
	21	22	23	24	25	26	27	28	29	30	31
L.canar. tr	3'7	6'7	17'4	39'9	18'9	4'7	19'6	16'9	12'7	tr	
P.indica tr	tr	1'4	4'8	6'9	25'7	11'1	33'5	4'5	12'1	-	
A.ceball.2'4	4'7	6'7	7'0	6'6	7'4	21'1	7'7	32'7	-	-	
Bup.sali.0'9	5'0	5'3	11'4	7'5	30'6	6'4	27'7	5'14	-	-	
Fer.link tr	0'9	1'9	9'4	8'6	23'3	7'6	10'2	14'1	4'4	18'9	
Pet.hort 2'0	3'2	3'6	4'3	8'1	4'3	53'7	10'6	10'3	-	-	

Productos eluidos con éter de petróleo/ benceno (80:20).-

En las cromatografías en capa fina de gel de sílice-nitrato de plata dan una mancha, o dos casi juntas, con Rf cercano a 0'5.

Los espectros IR de algunos de los extractos solamente muestran las bandas de absorción de los alquenos ν_{max} 3040, 1645, 992, 912 cm^{-1} (hojas de la A.ceballos), otros extractos también dan los picos de los grupos C=O, por ejemplo la Dupleurum salicifolium ν_{max} 1732, 1272, 1175 cm^{-1} y de C = C -H a 920 y 953 cm^{-1} .

Otros como el de los frutos de la P.indica muestran numerosas e intensas bandas de insaturación ν_{max} 3040, 1614, 1600, 1508, 993, 965, 911, 876, 795 cm^{-1} , así como de grupos C=O (1735 cm^{-1}), C=O conjugado (1700 cm^{-1}), de C-O 1150, 1080 y 1010 cm^{-1} .

Los espectros RMN del extracto de Bup. salicifolium muestran un triplete a $6'0\tau$ (-CH₂O) y otro a $7'72\tau$ (CH₂-C=O), el de los frutos de P.indica muestra una gran cantidad de picos entre 3'7 y 5'5 τ así como en la zona entre 7'3 y 8'5 τ , la Ocotea foetens muestra picos muy poco intensos entre 4'5 y 5'5 τ , pero de mayor intensidad entre 7'3 y 8'5 τ .

Cromatografía gas-líquido

Condiciones experimentales:

Columna, Dexil

Temperatura, 210 $^{\circ}\text{C}$

Flujo de gas, 9ml /min.

Sensibilidad 1 x10²

Los resultados obtenidos se dan en la TABLA VII

TABLA VII

Cromatografía gas-líquido de los alquenos + ésteres cluidos con
éter de petróleo/benceno (80:20)

Tanto por ciento en moles de los picos

L.canar. or	15'5	43'5	6'4	4'54	3'9	12'6	12'3	tr	-	tr	-	-
Ocotea f tr (hojas)	0'4	10'7	7'3	12'3	9'1	19'5	5'6	29'8	-	3'4	-	-
Ocotea tr (frutos)	tr	0'8	2'5	2'6	2'9	4'7	8'2	43'4	tr	34'9	-	-
Persea i tr (hojas)	0'6	0'6	0'3	8'9	2'1	20'3	5'9	64'0	-	tr	-	-
Persea tr (frutos)	3'0	25'0	12'0	tr	18'1	22'0	15'1	tr	5'2	-	-	-
Apollonia tr (hojas)	0'6	0'3	4'0	2'6	11'4	3'9	20'5	7'4	0'95'9	1'3	-	-
Apollonia tr (frutos)	tr	0'9	3'5	3'1	18'3	16'6	2'9	24'5	tr	25'0	-	-
Eupreu.S. tr	0'6	6'8	3'9	5'3	3'7	3'7	5'5	5'8	tr	3'7	-	56%
Astyd.can tr	tr	12'9	10'5	16'6	14'7	29'0	8'7	4'7	2'9	-	-	-
Ferula l. tr	11'3	5'9	2'9	3'1	7'8	60'6	tr	8'4	tr	tr	-	-
Petr.hort tr	tr	8'5	10'0	14'0	11'3	19'5	21'0	tr	15'6	tr	-	-
Hyper.can	0'7	14'5	10'7	13'2	6'0	10'0	4'1	27'0	tr	1'1	-	-
Hyper.ref	2'2	4'3	1'8	1'7	22'3	14'7	36'7	16'3	tr	tr	-	-

AGRADECIMIENTOS:

Agradezco al Dr.Bromwell, Director del Jardín Canario "Vicra y Clavijo", la clasificación de las plantas, el interés por este trabajo, así como las facilidades dadas para la colecta de las especies estudiadas.

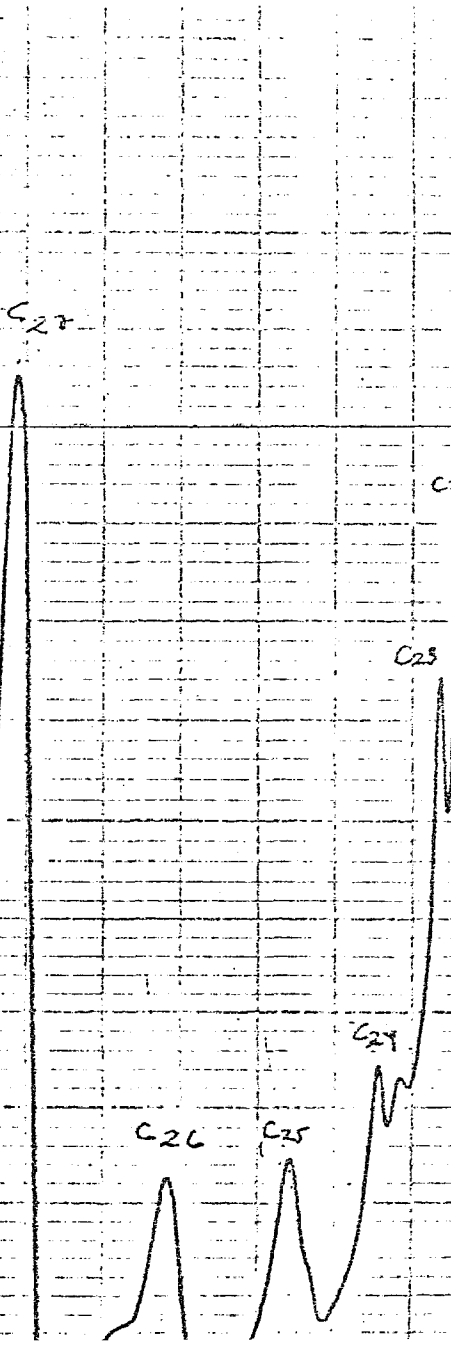
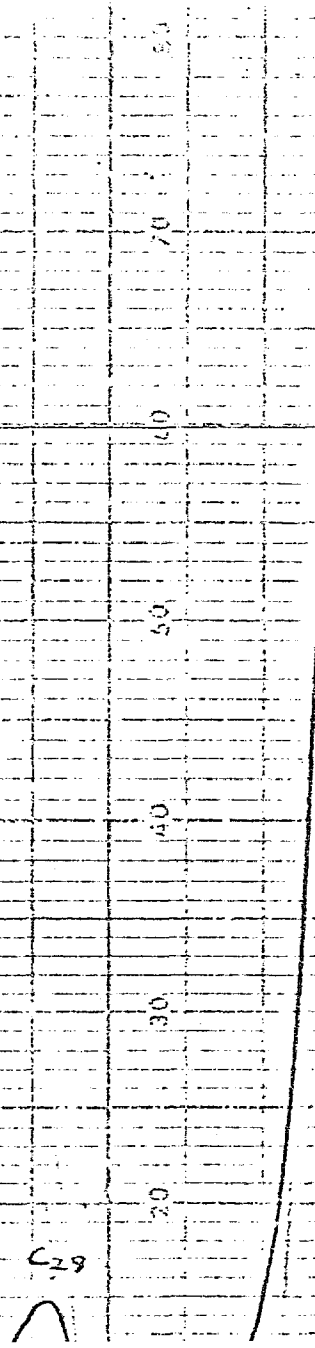
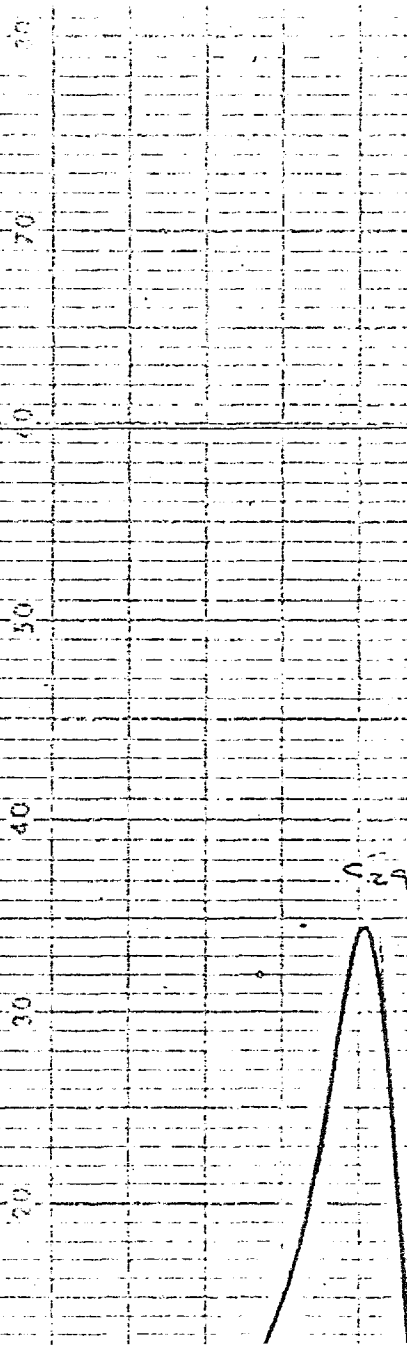
BIBLIOGRAFIA

BIBLIOGRAFIA

- (1) W.Karrer, "Konstitution und Vorkommen der organischen Pflanzenstoffe", Birk.Verlag, 1958.
- (2) O.R.Gottlieb y A.I.da Rocha: PHYTOCHEMISTRY, 11, 1861 (1972).
- (3) O.R.Gottlieb y col.: PHYTOCHEMISTRY, 14, 1825 (1975); 15, 1289 (1976).
- (4) O.A.Lima y col.: PHYTOCHEMISTRY, 11, 2031 (1972); 12, 413 (1973); 12, 1163 (1973); 12, 413 (1973); 14, 1597 (1975); 16, 741 (1977); 16, 745 (1977).
- (5) M.Leao da Silva y col.: PHYTOCHEMISTRY, 12, 471. (1973).
- (6) M.V.von Bülow y col.: PHYTOCHEMISTRY, 12, 1805 (1973).
- (7) N.C.Franca y col.: PHYTOCHEMISTRY, 13, 2839 (1974).
- (8) A.M.Gisbrecht y col.: PHYTOCHEMISTRY, 13, 2285 (1974).
- (9) J.B.Ferandes y col.: PHYTOCHEMISTRY, 15, 1033 (1976).
- (10) M.A.de Alvarenga y col.; PHYTOCHEMISTRY, 16, 1797 (1977); 16, 1801 (1977).
- (11) O.R.Gottlieb: PHYTOCHEMISTRY, 11. 1537 (1972).
- (12) A.G.González, R.Estevez Reyes y M.Rivero Espino, PHYTOCHEMISTRY, 16, 2033 (1977).
- (13) A.G.González y col.: PHYTOCHEMISTRY, 16, 265 (1977).
- (14) C.Mathis y Gourisson, PHYTOCHEMISTRY, 3, 115 (1963).
- (15) J.T.Martin, J.Sci.Food Agric., 11, 635 (1960).
- (16) Eglinton y col.: PHYTOCHEMISTRY, 1, 89 (1962).
- (17) P.Jarolimek y col.: Coll.Cz.Chem.Comm., 29, 2528 (1964).
- (18) P.Jarolimek y col.: Chem.& Ind., 237 (1964).
- (19) W.G.Dyson y G.A.Herbin: PHYTOCHEMISTRY, 7, 1339 (1968).
- (20) M.Behari y col.: Coll.Cz.Chem.Comm., 42, 1385 (1977).

CROMATOGRAMAS

ALCANOS EN JAVUS CANARIENSIS



ESCUOLA UNIVERSITARIA
TÉCNICA INDUS

Muestra Ocotea

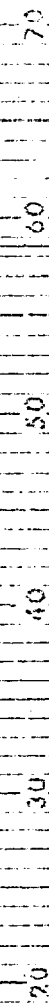
Disolvente Celofan

Iny. 100 g. 60% - 30%

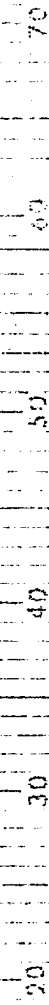
inj. 100 g. 60% - 30%

ALIANOS OCOTEA FOETENS

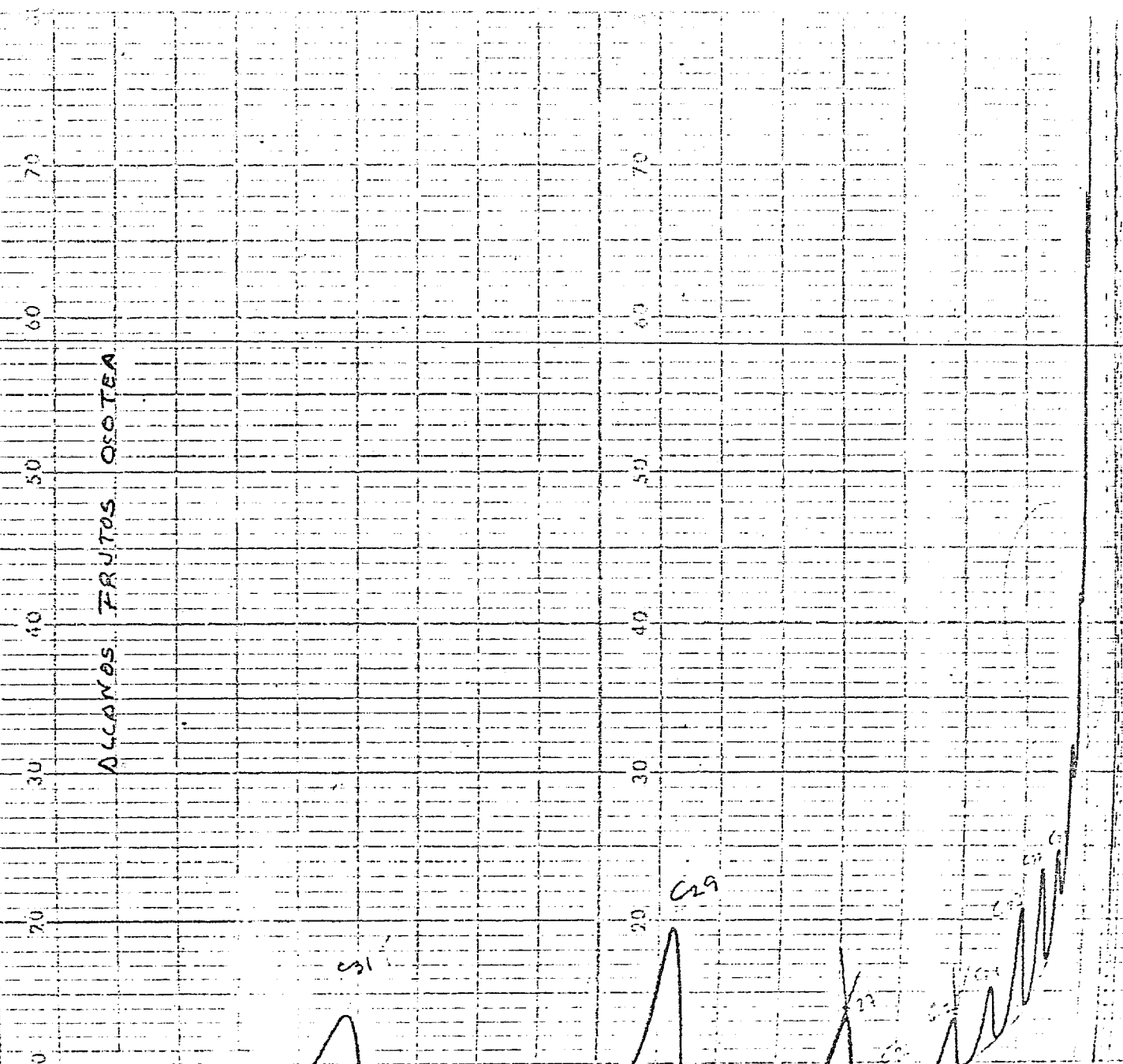
Sept 3 91-6-T



CEC TFA 2004-05



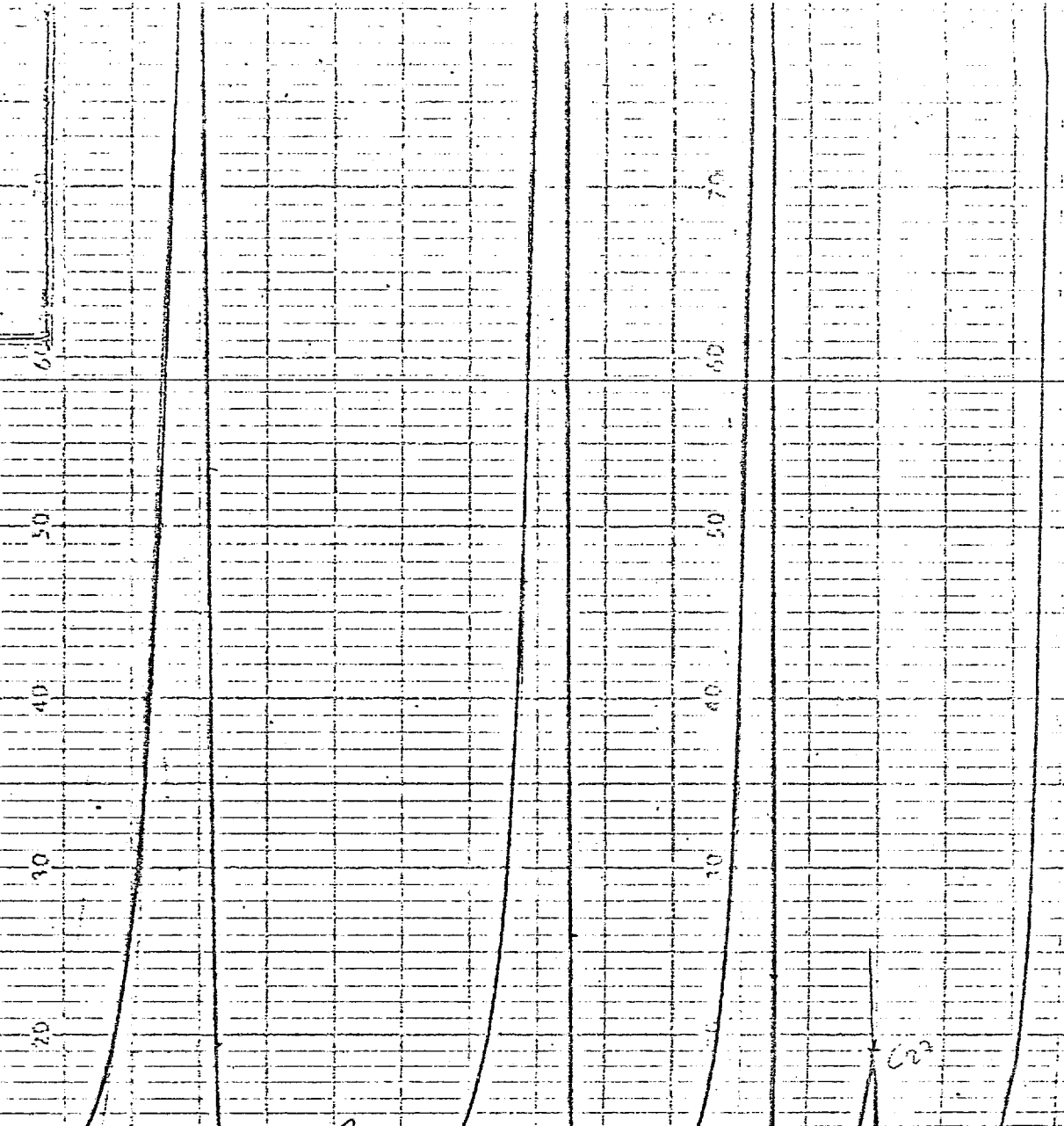
Fechas: 31-6-11



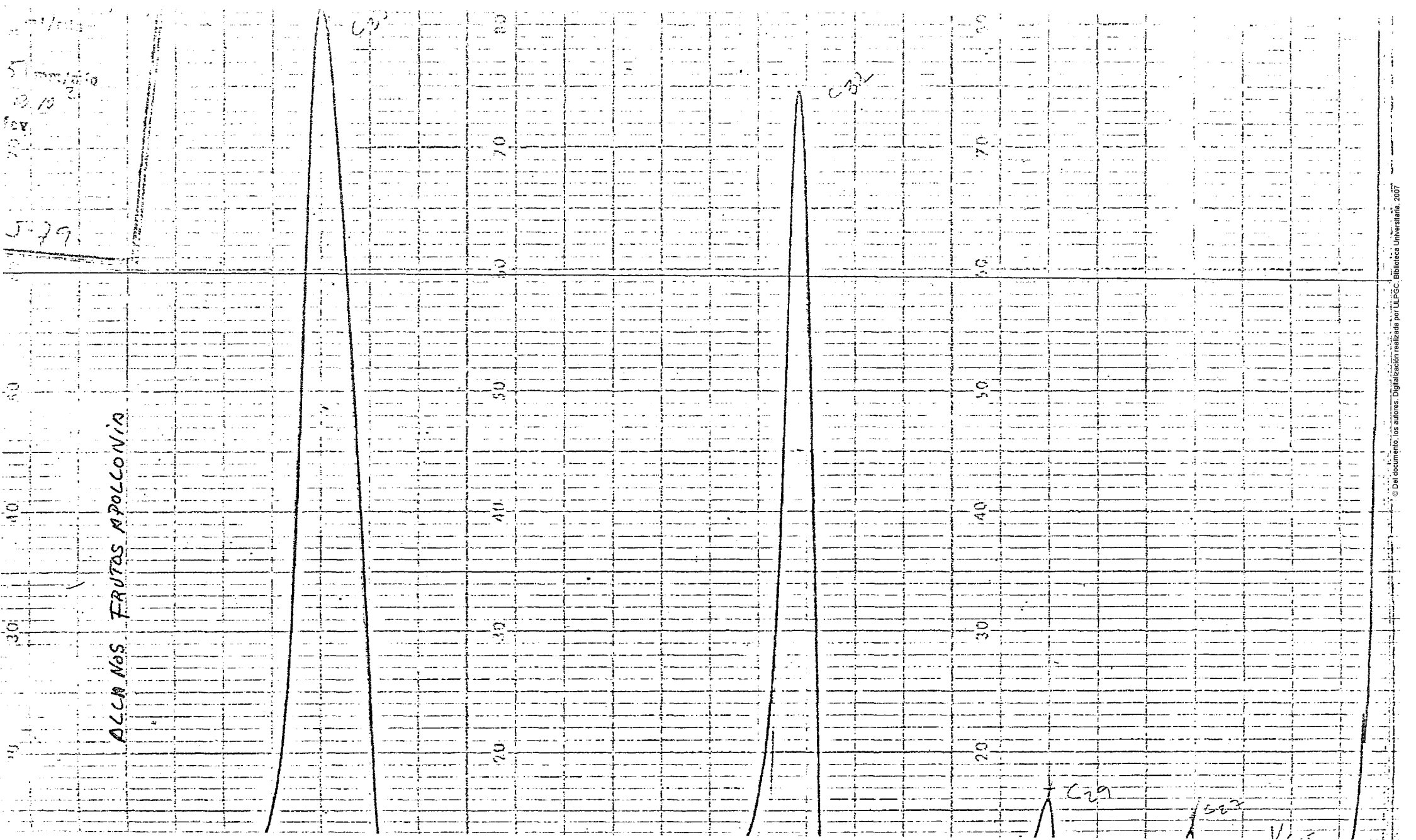
ALCANCES APOLOMIR C.

Precisión
Tiempo de cinta 5 mm/min
Sensibilidad 2×10^2
Voltaje 1000 V
Condiciones

Fecha: 22-5-79

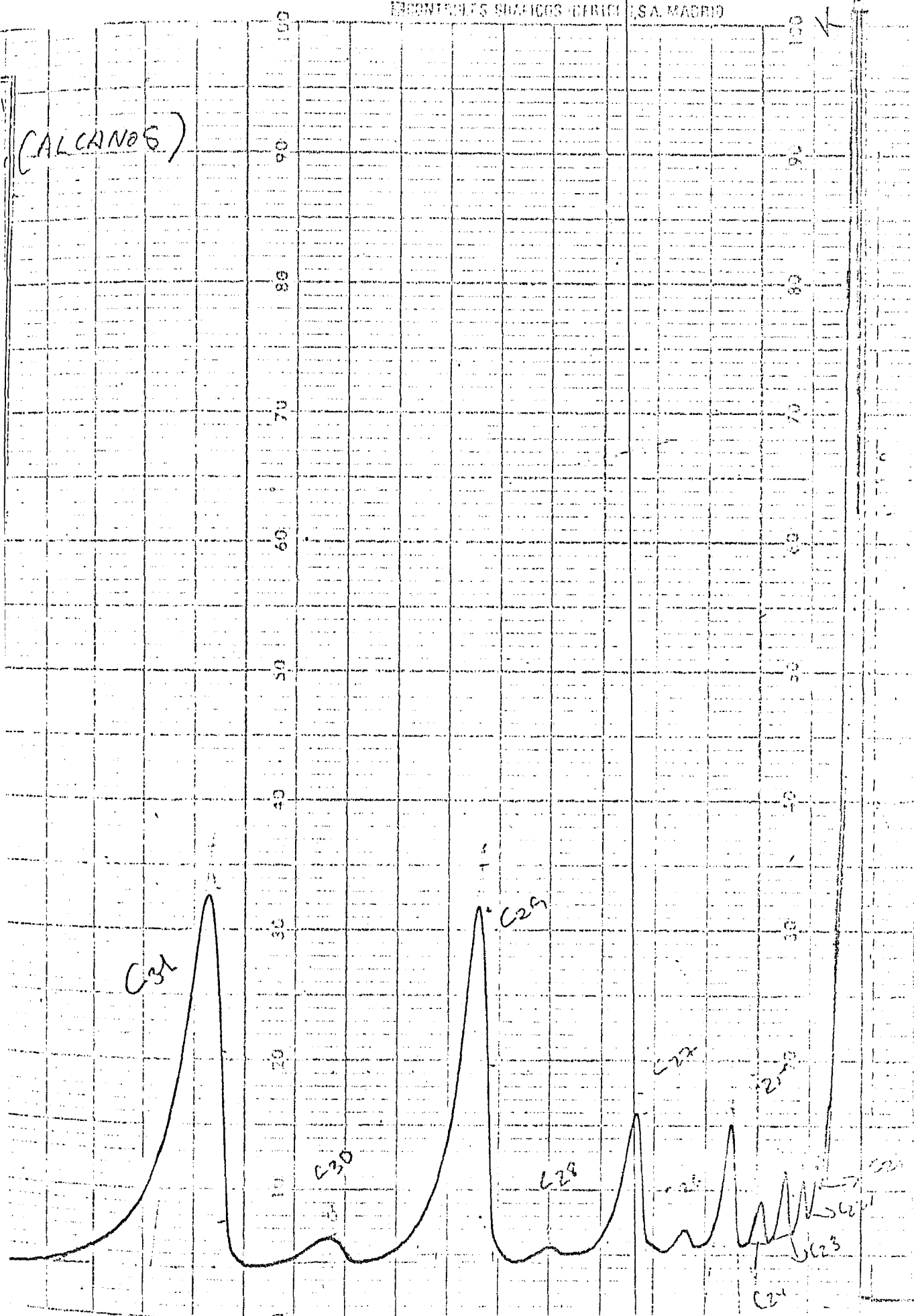


ACCIONES FRUTOS APOLLONIA



ESTUDIOS SÍNTETICOS CERÁMICOS
S.A. MADRID

(CALCÁNOS)



HANSA

HO 159-1967

CA DE INGENIERIA
DE LAS PALMAS

Almeria M.

O₂ CH

microlitros D

DV 11

(°C/min)

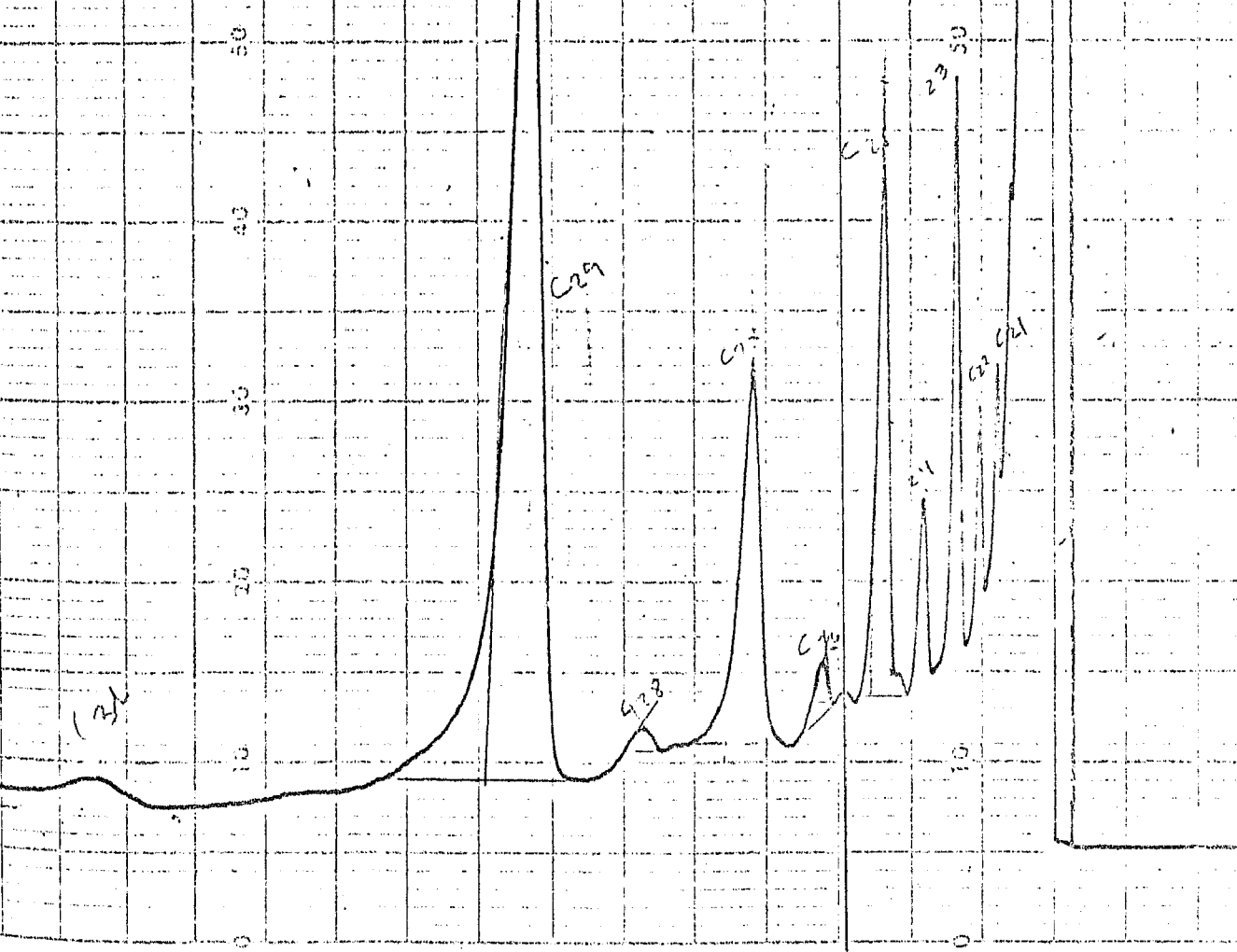
1/min

mm/min

X 1.0²

V

-5.479



R HISPANIA S.A.

Nº 159-1000

E INGENIERIA
AS PALMAS

m Calorías gr

CA

tros 113

11

OC/min)

min

n/min

o 2

0

70 71

70

70

70

70

70

70

70

70

70

70

70

70

70

70

70

70

70

70

70

70

70

70

70

70

70

70

70

70

70

70

70

70

70

70

70

70

70

70

70

70

70

70

70

70

70

70

70

70

70

70

70

70

70

70

70

70

70

70

70

70

70

70

70

70

70

70

70

70

70

70

70

70

70

70

70

70

70

70

70

70

70

70

70

70

70

70

70

70

70

70

70

70

70

70

70

70

70

70

70

70

70

70

70

70

70

70

70

70

70

70

70

70

70

70

70

70

70

70

70

70

70

70

70

70

70

70

70

70

70

70

70

70

70

70

70

70

70

70

70

70

70

70

70

70

70

70

70

70

70

70

70

70

70

70

70

70

70

70

70

70

70

70

70

70

70

70

70

70

70

70

70

70

70

70

70

70

70

70

70

70

70

70

70

70

70

70

70

70

70

70

70

70

70

70

70

70

70

70

70

70

70

70

70

70

70

70

70

70

70

70

70

70

70

70

70

70

70

70

70

70

70

70

70

70

70

70

70

70

70

70

70

70

70

70

70

70

70

70

70

70

70

70

70

70

70

70

70

70

70

70

70

70

70

70

70

70

70

70

70

70

70

70

70

70

70

70

70

70

70

70

70

70

70

70

70

70

70

70

70

70

70

70

70

70

70

70

70

70

70

70

70

70

70

70

70

70

70

70

70

70

70

70

70

70

70

70

70

70

70

70

70

70

70

70

70

70

70

70

10 159-1003

CONTROLES GRÁFICOS PERIODICA MARCHA

ESCUELA UNIVERSITARIA DE INGENIEROS
TECNICA INDUSTRIAL DE LAS P. LNAS

Muestra: perchloro Kélorat (nopen)

Disolvente Cl, Cl

Inyección 4 microlitros

Columna ZB - 04-11

Temperatura 24°C ($^{\circ}\text{C}/\text{min}$)

Flujo de gas 5 ml/min

Presión columna mls/min

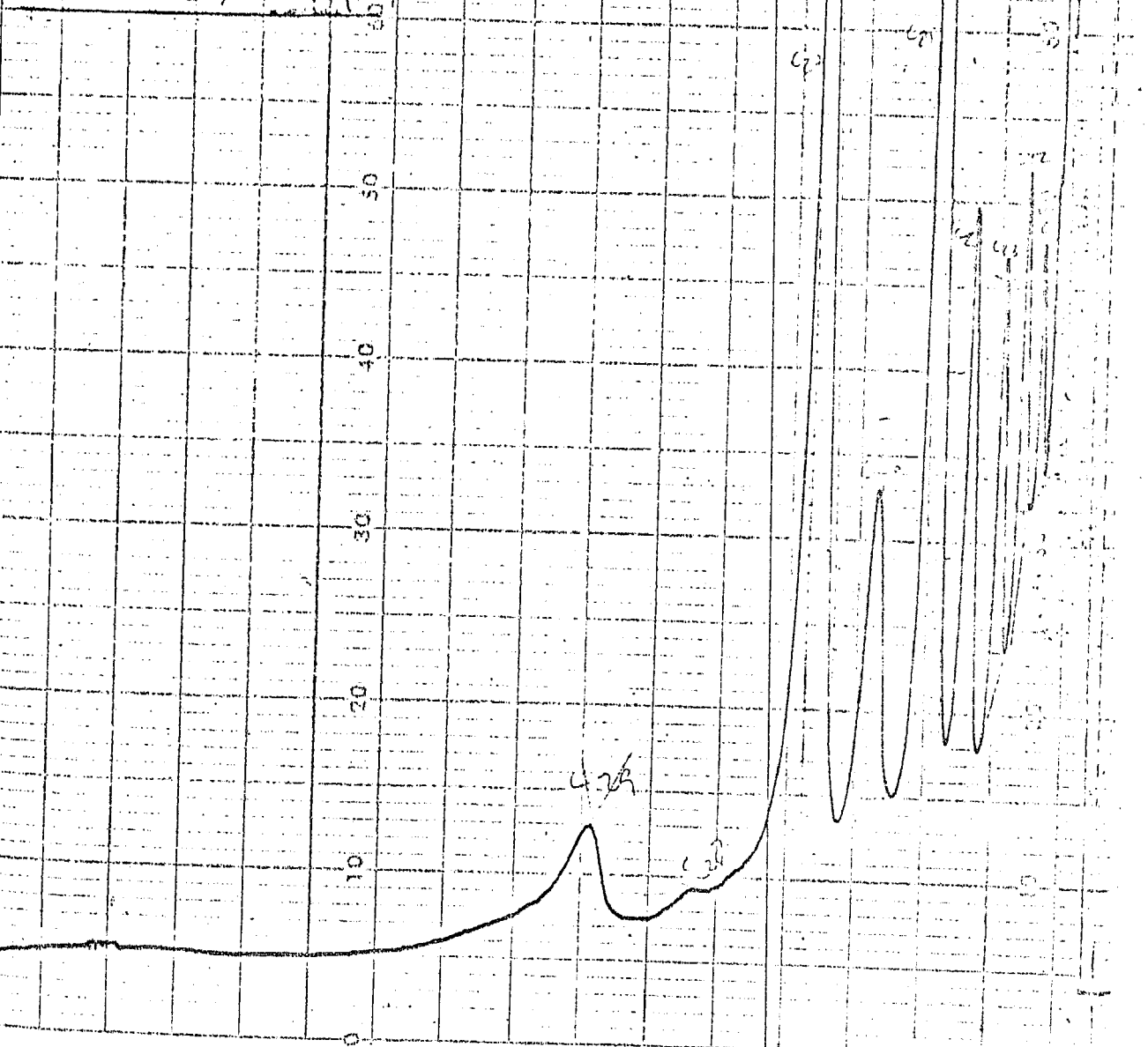
Tiempo de carta mls/min

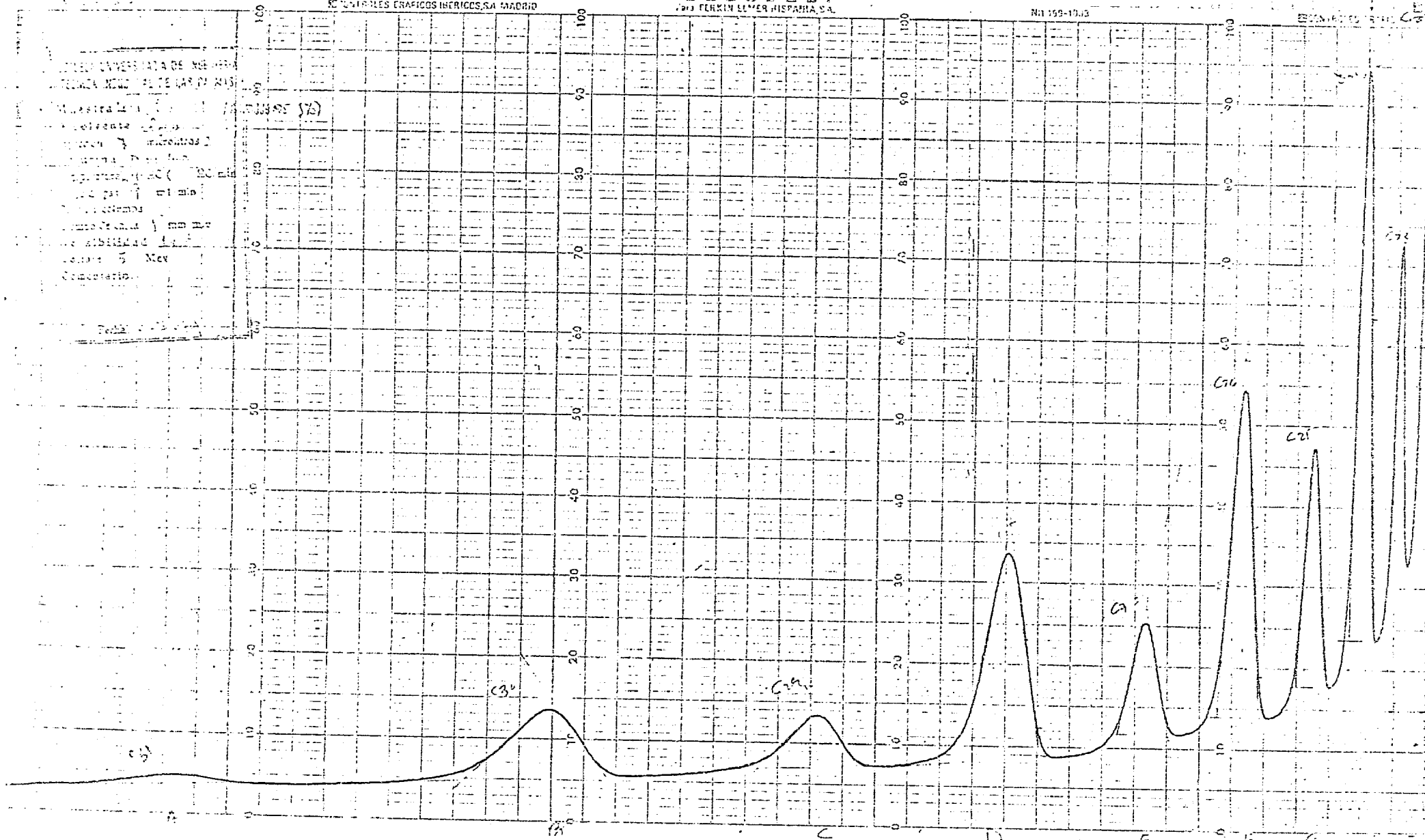
Sensibilidad 2×10^{-2}

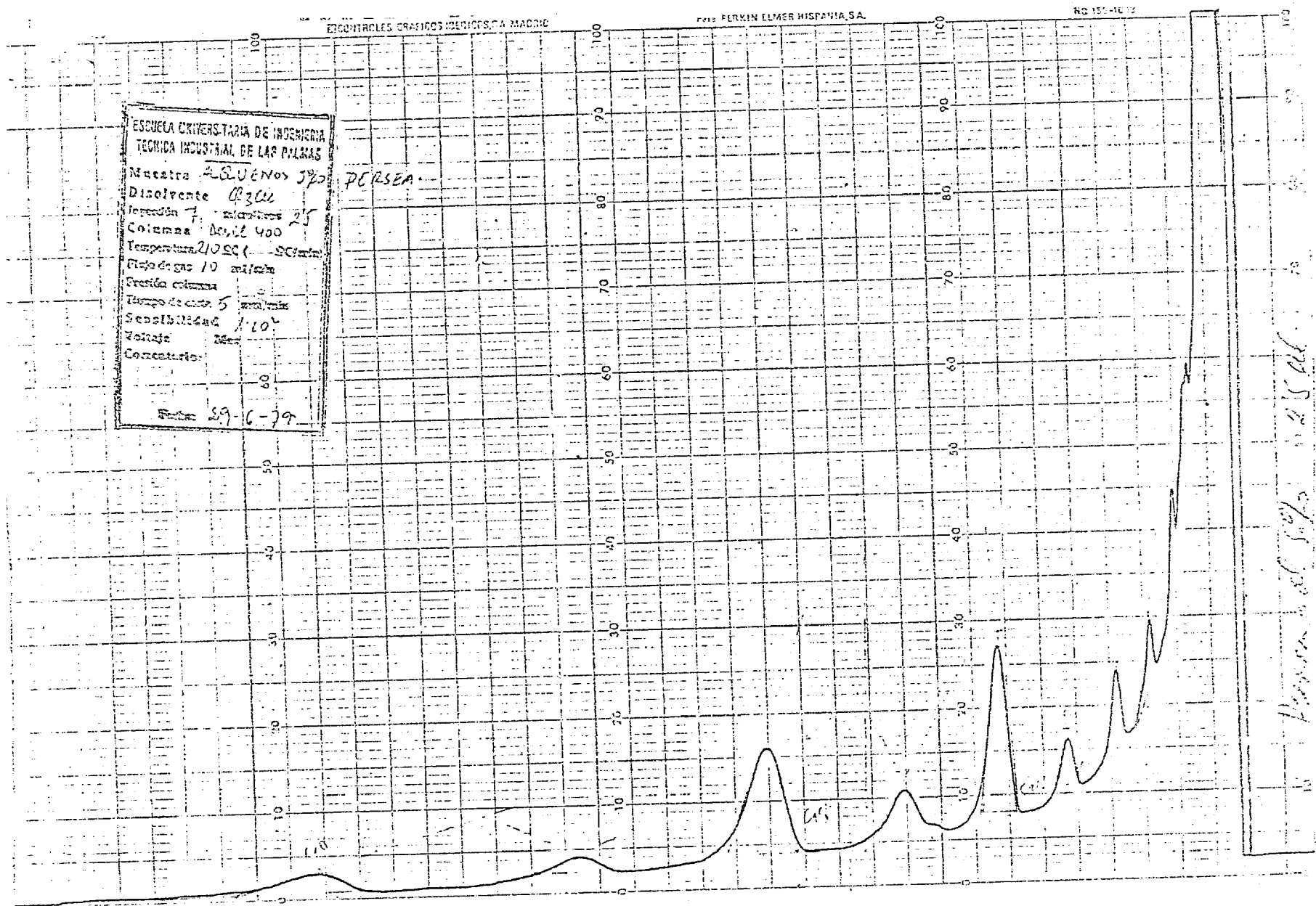
Voltaje Max

Comentarios:

Fecha: 24-7-79

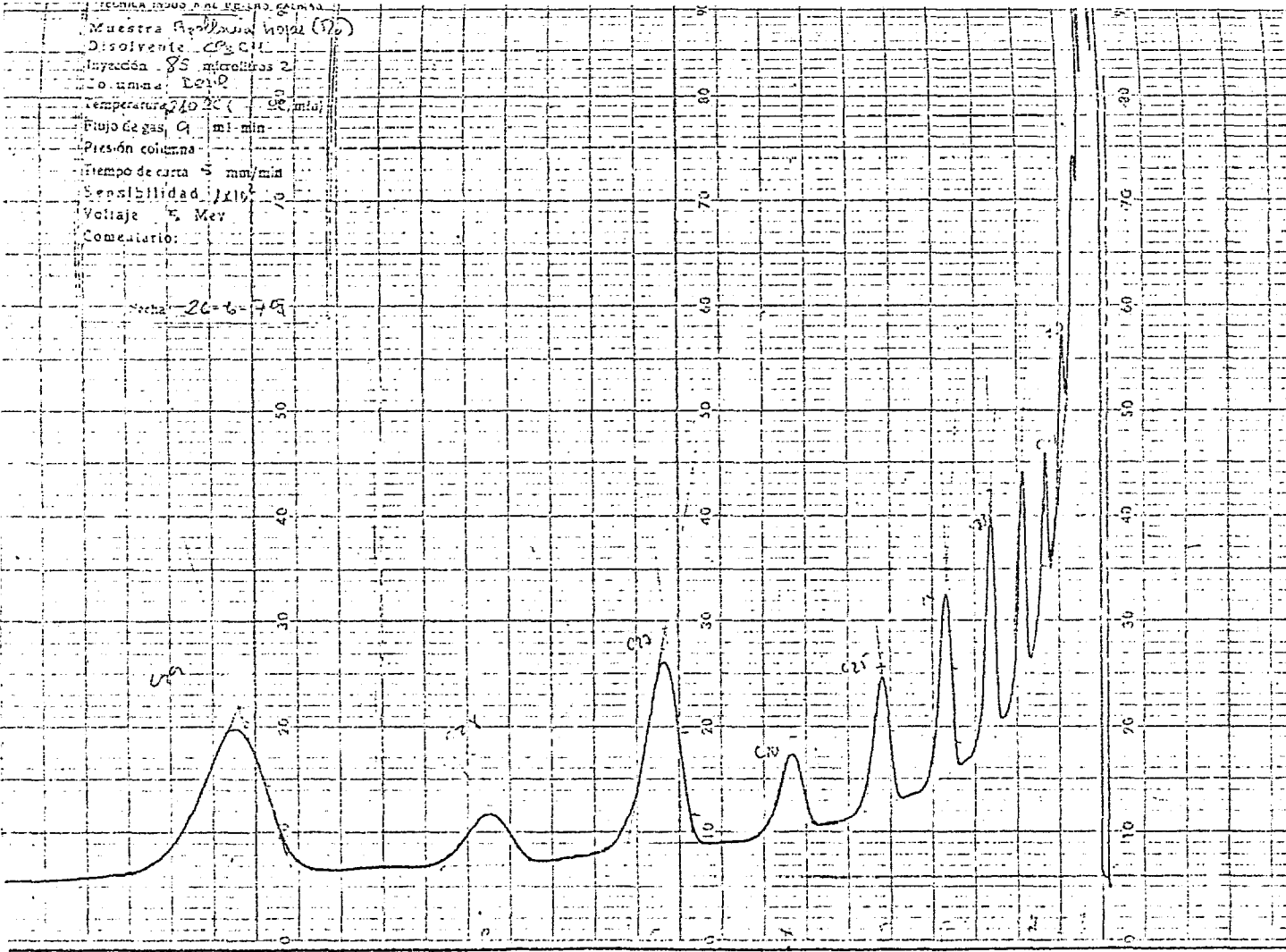


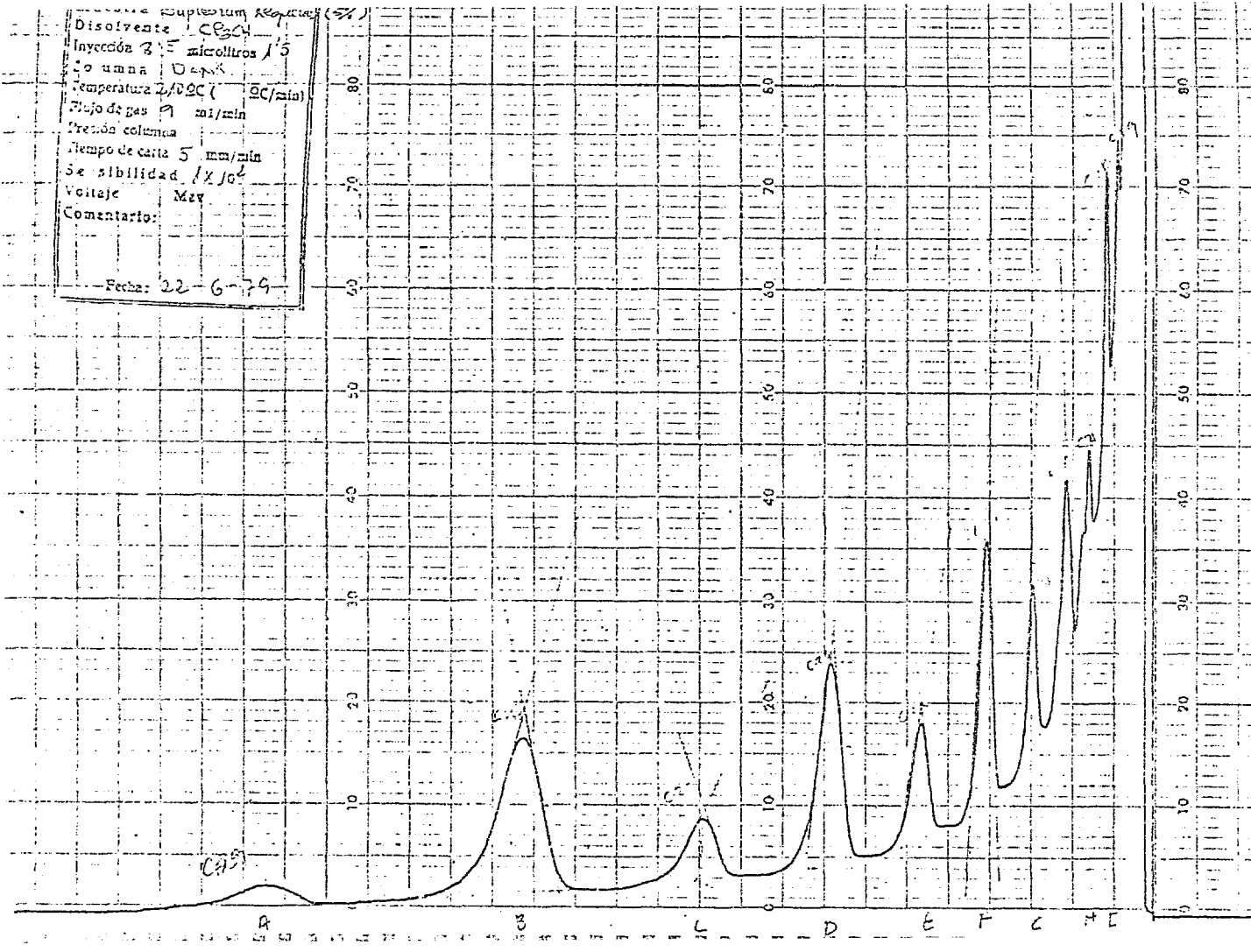


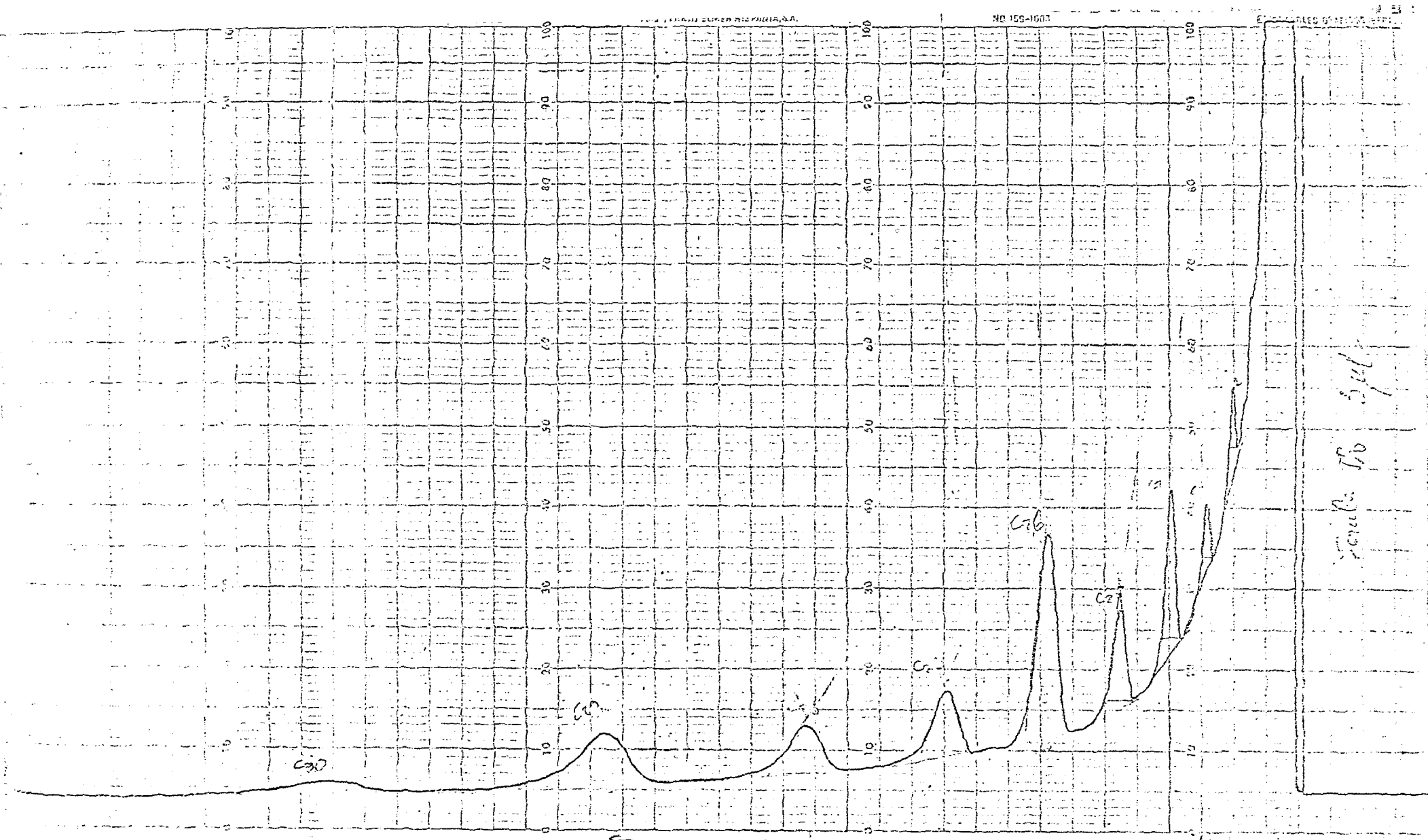


Tecnica usado para la analisis de gases
Muestra Agave tequilina mezcla (5%)
Disolvente: C₂H₅OH
Inyección: 8S microlitros
Columna: D.G.P.
Temperatura: 240°C
Flujo de gas: 0.1 ml/min
Presión columna:
Tiempo de carta: 5 min/min
Sensibilidad: 10³
Voltaje: 5 Mev
Comentario:

Neto = 26 = 6 = 70



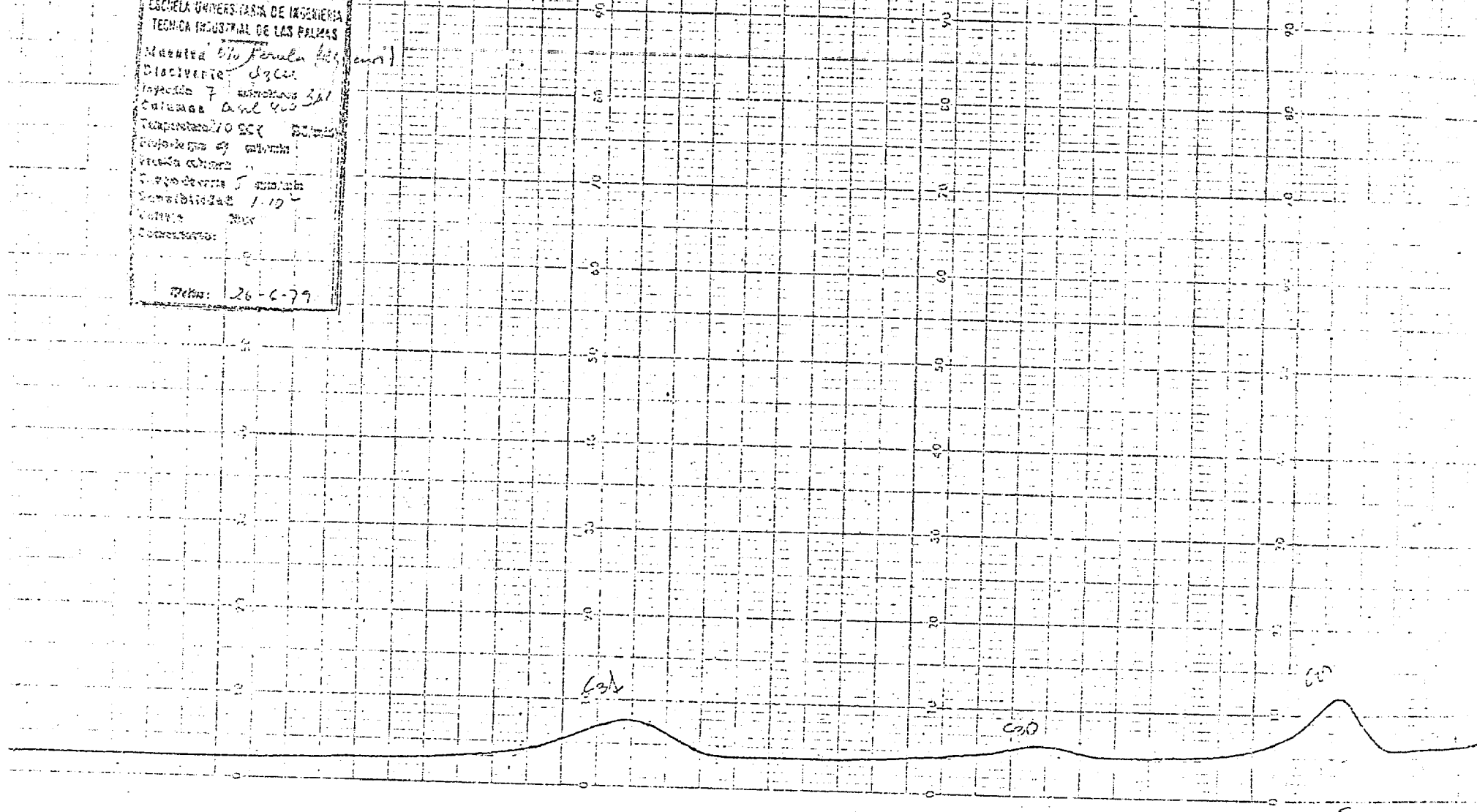




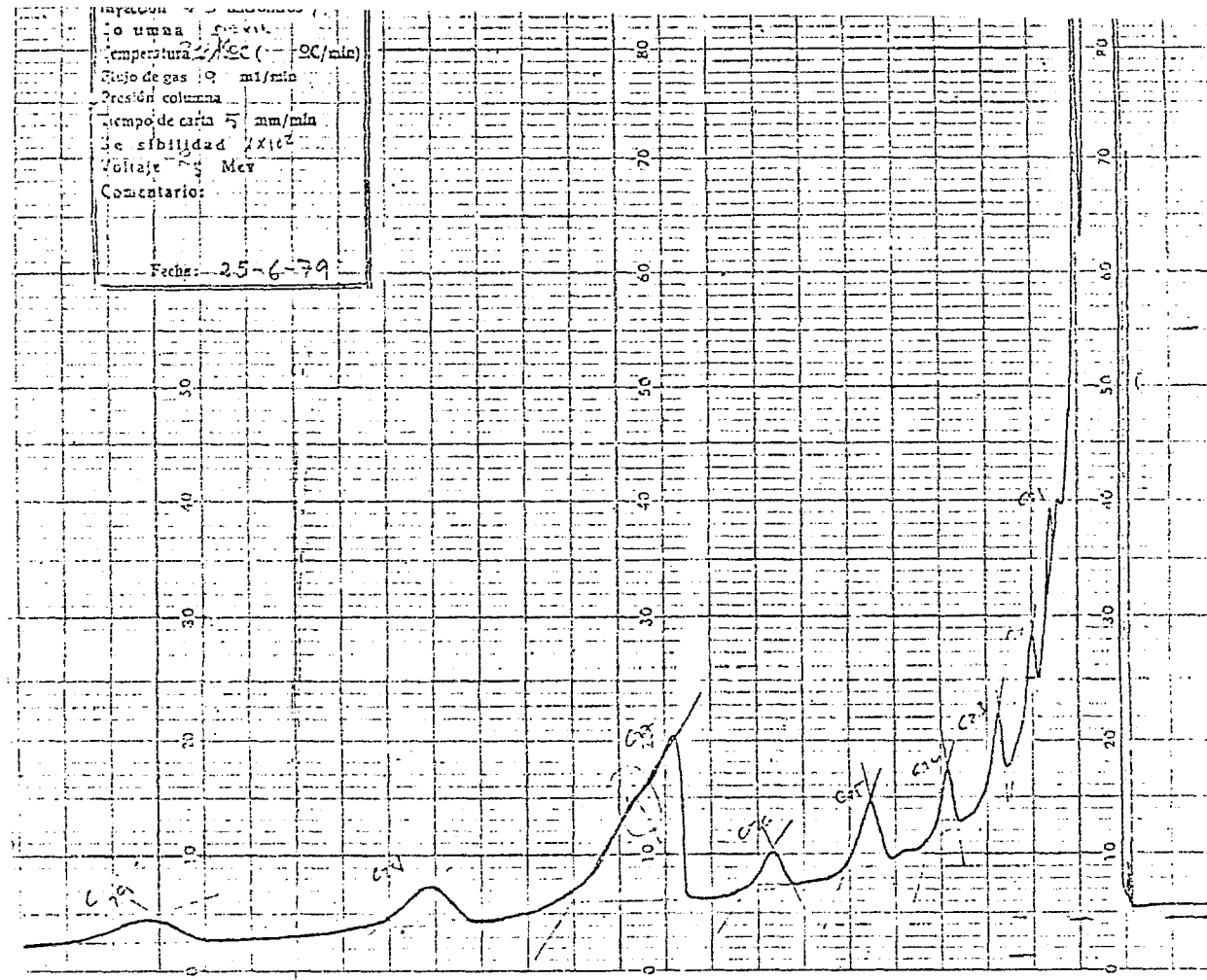
COCHELA UNIVERSITARIA DE INGENIERIA
TECNICA INDUSTRIAL DE LAS PALMAS

Materiales: V_2O_5 (50% cuarzo)
Disolvente: CH_3COOH
Leyenda: T: temperatura 361
C: calefacción 0 ml 400
Temperatura: 100°C
Reforzado: 25 mm
Velocidad: 20 mm/min
Tiempo de cocción: 5 horas
Sensibilizante: 1/10 C
Cocimiento: 200°C

Fecha: 26-6-79

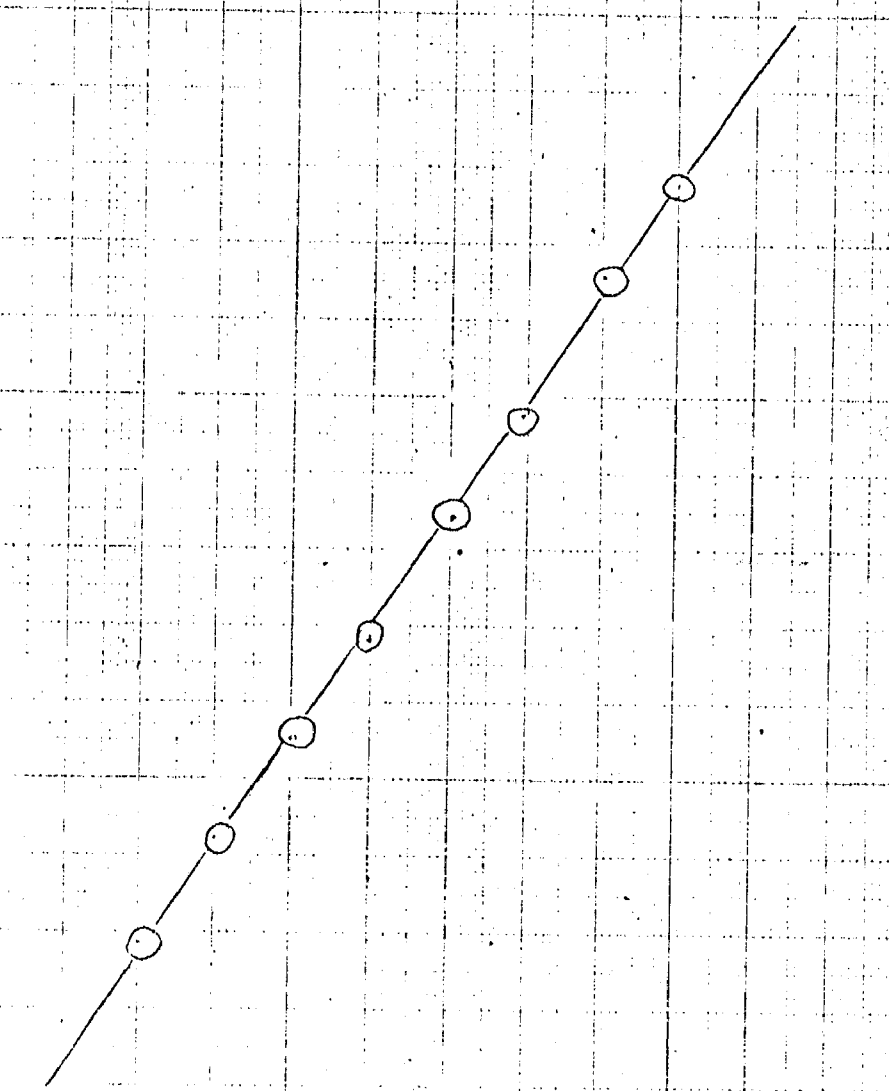


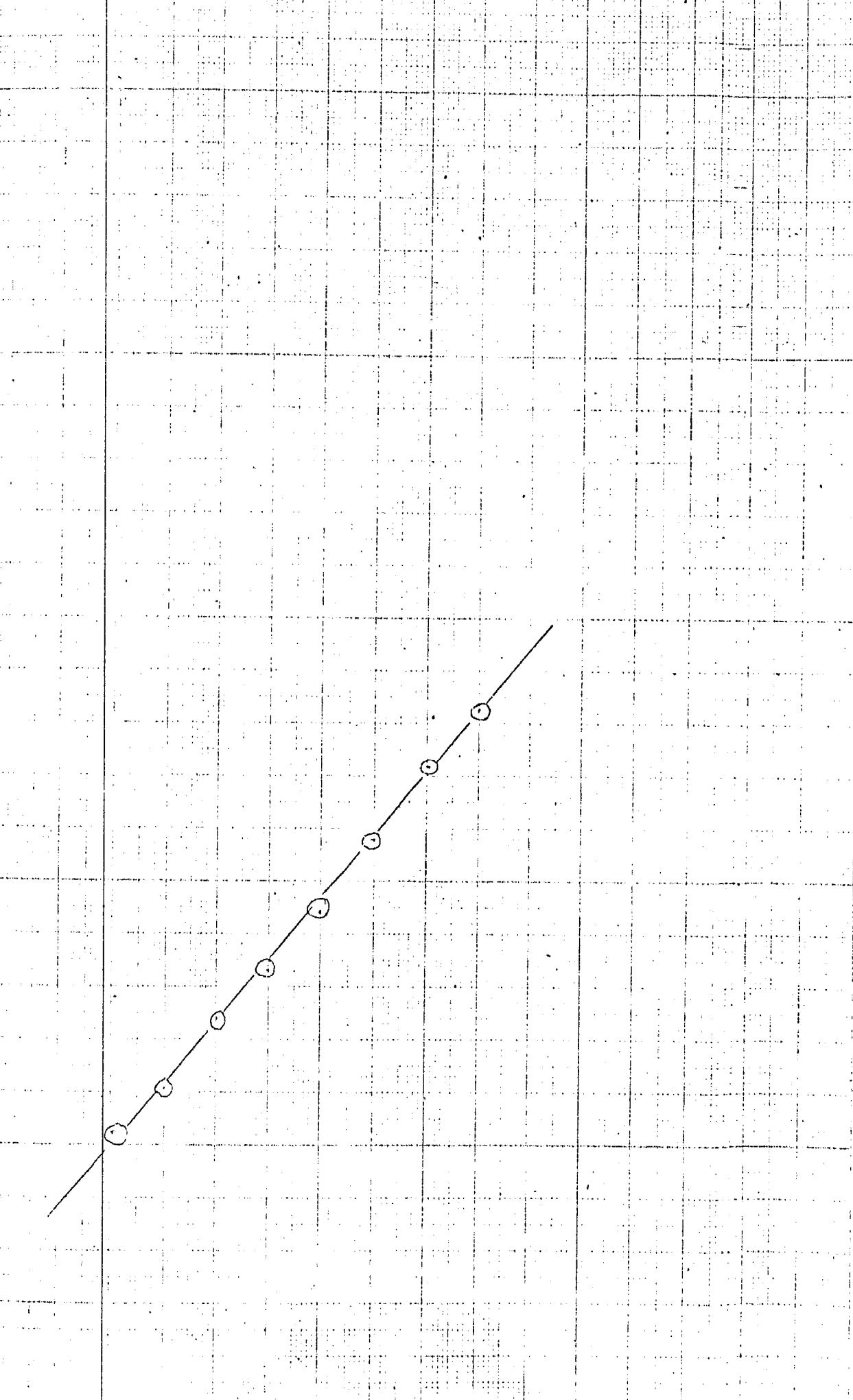
• o una
temperatura 122°C (- $2^{\circ}\text{C}/\text{min}$)
flujo de gas 10 ml/min
presión columna
tiempo de carta 7 mm/min
estabilidad $\pm 10^{\circ}$
voltaje 75 Mev
Comentario:
Fecha: 25-6-79



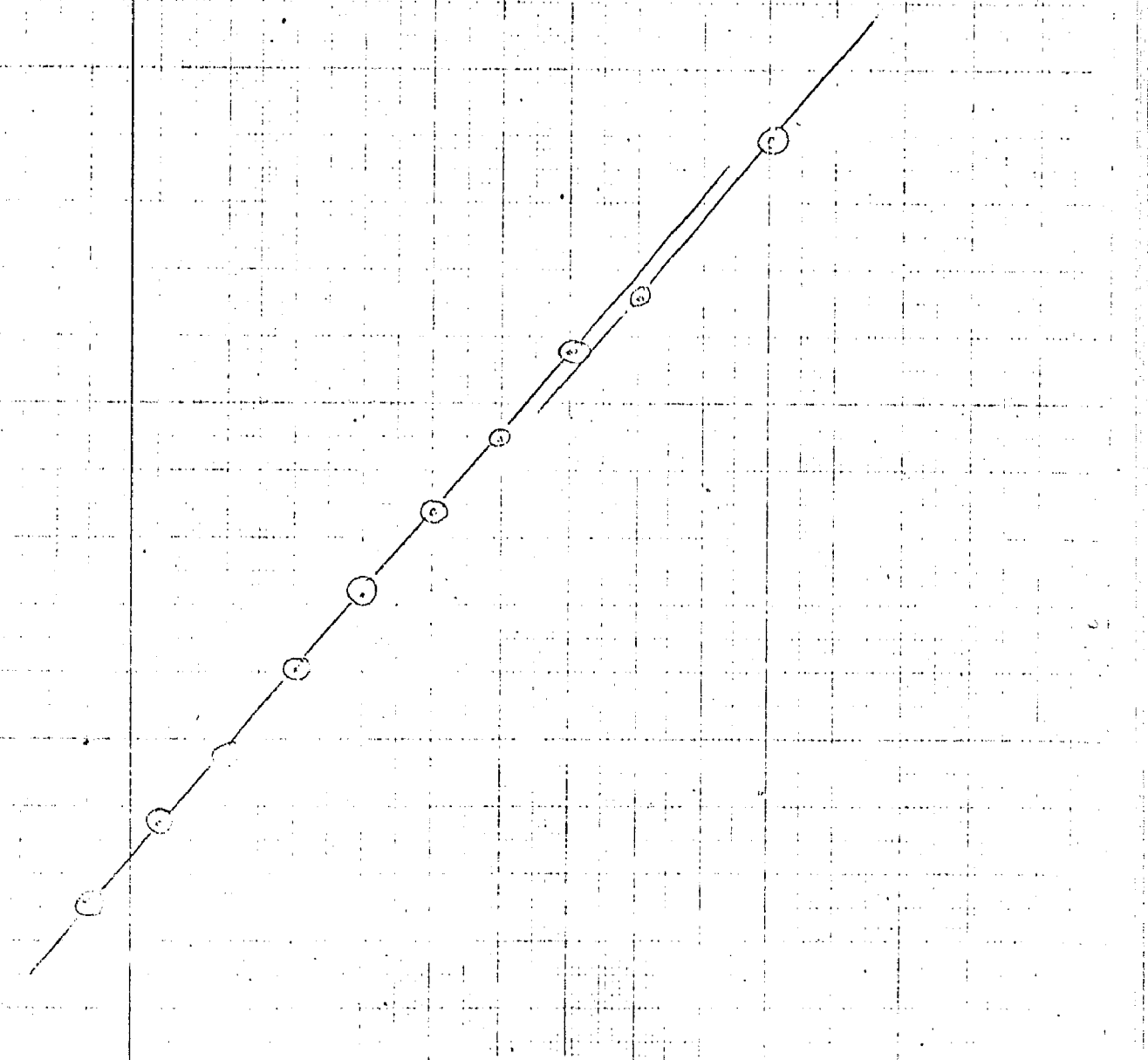
GRAFICAS

Laurus Canariensis

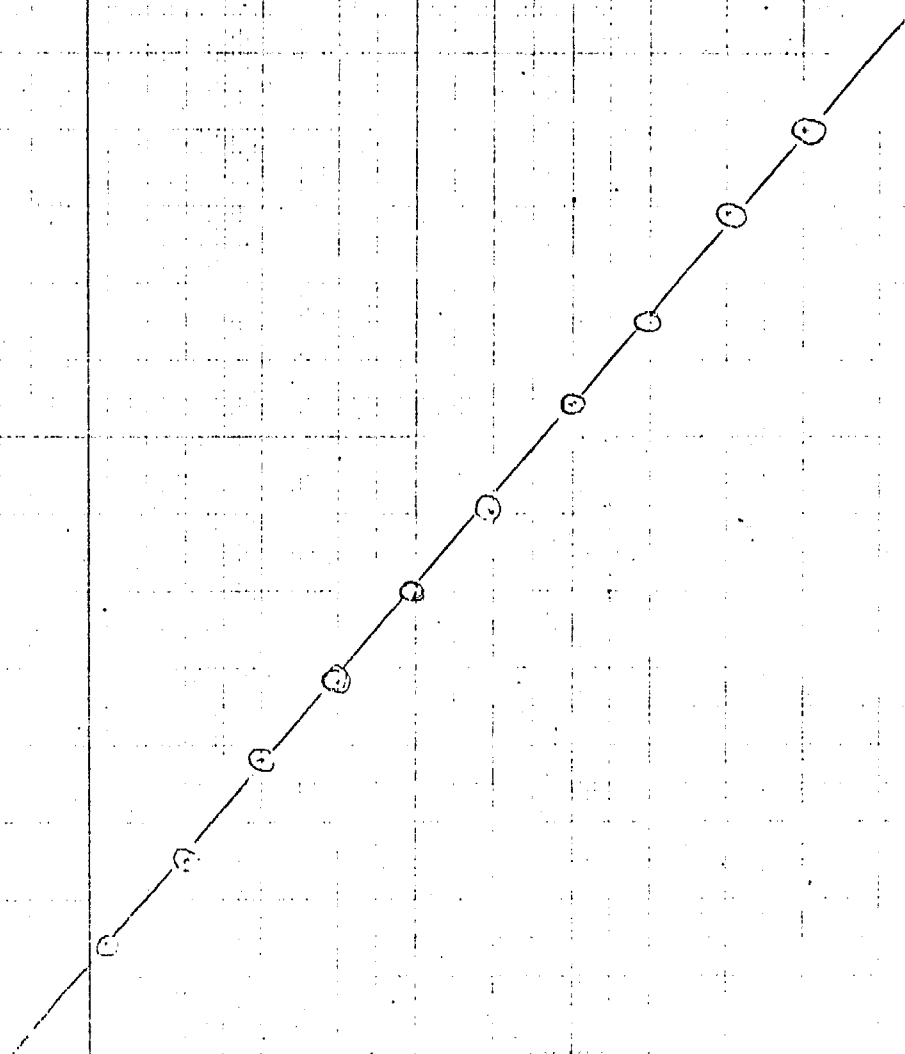




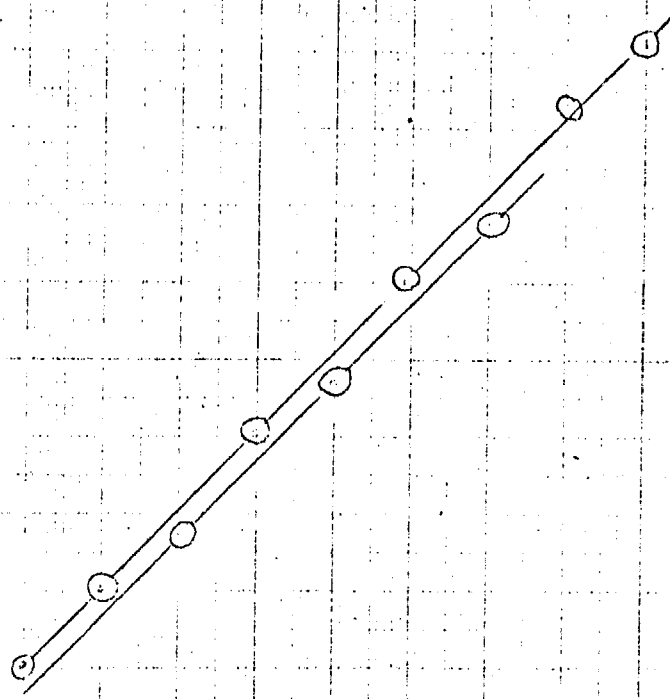
Alcanos : Frutos Qcotea



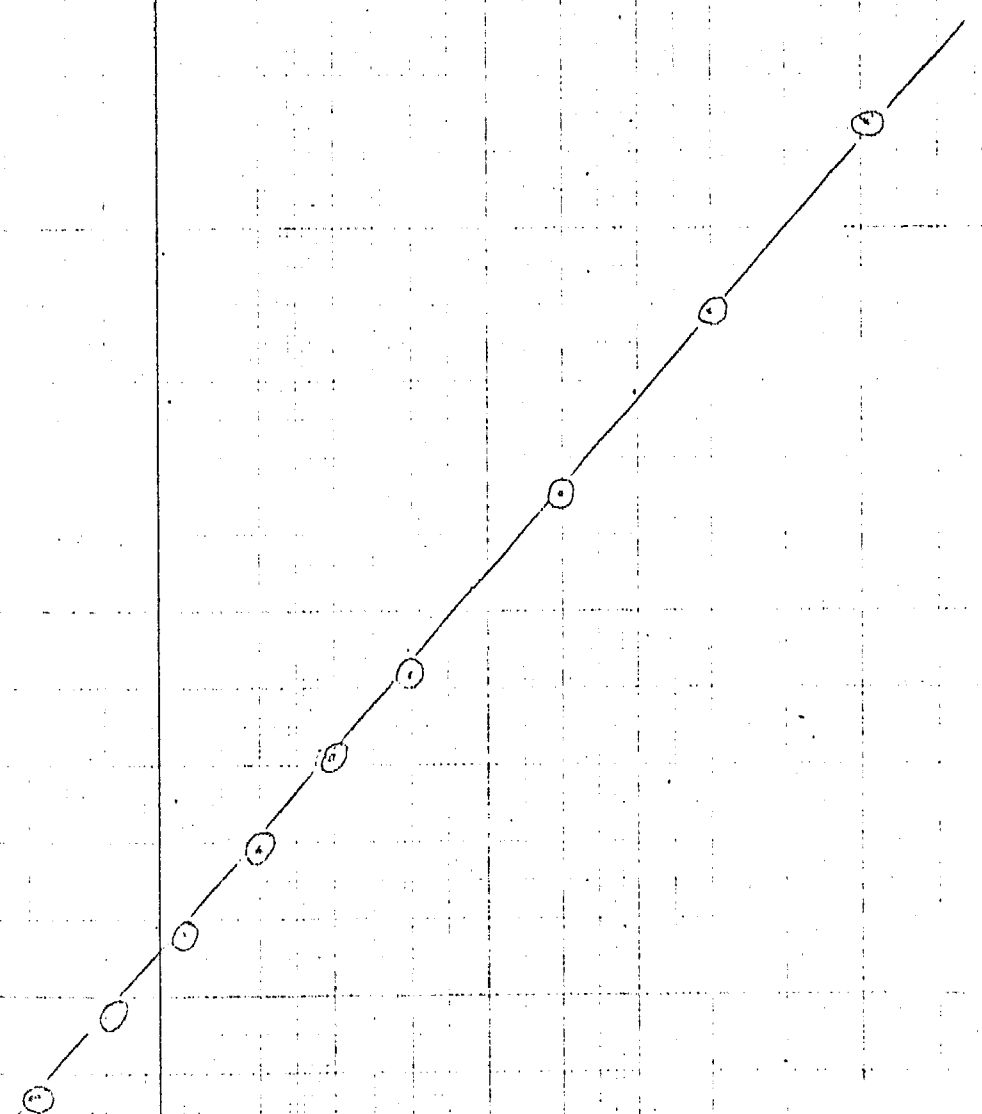
NOS DE LA PERSEA INDICA



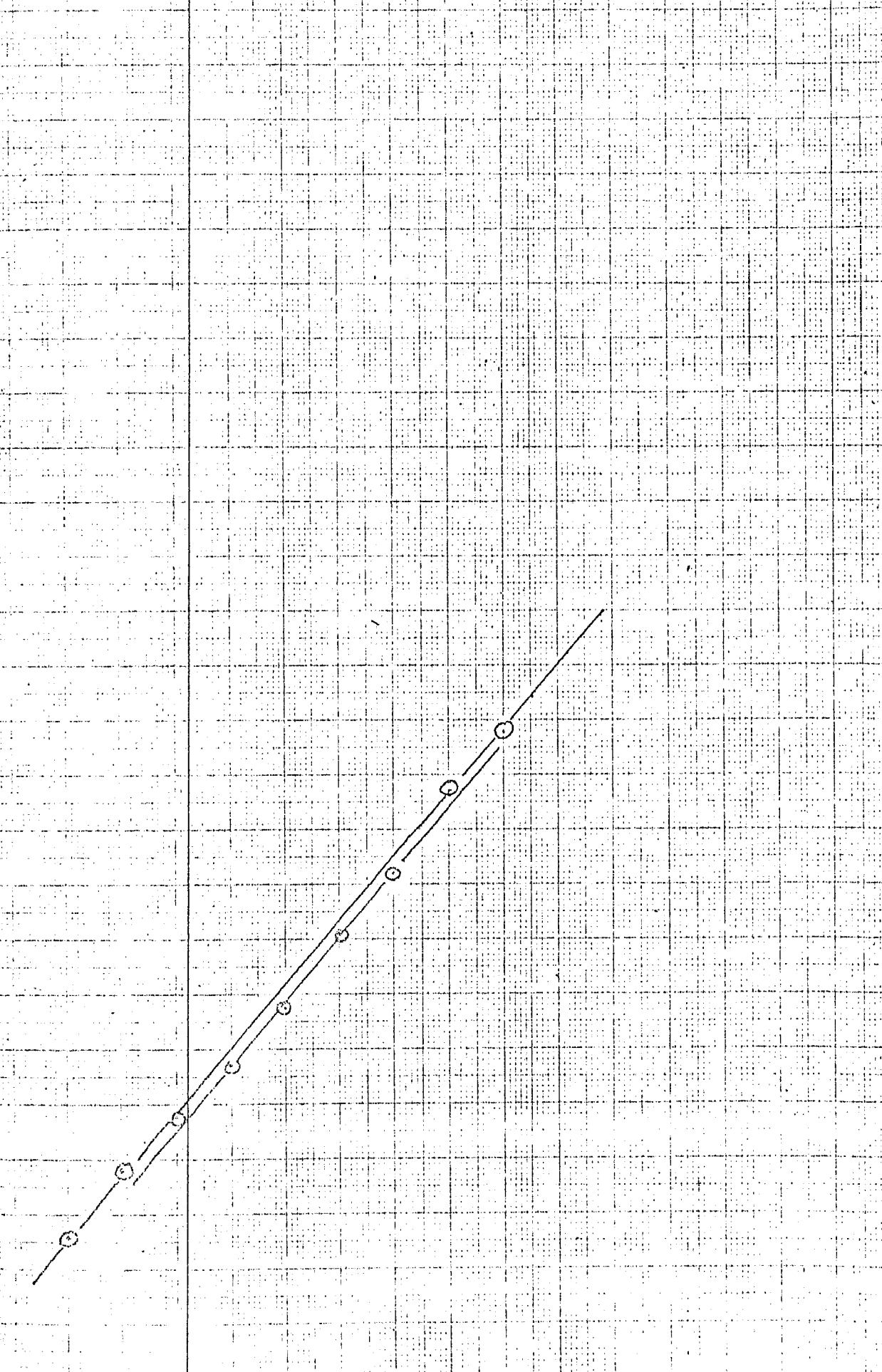
ALCANOS DE LA APOOLLONIA



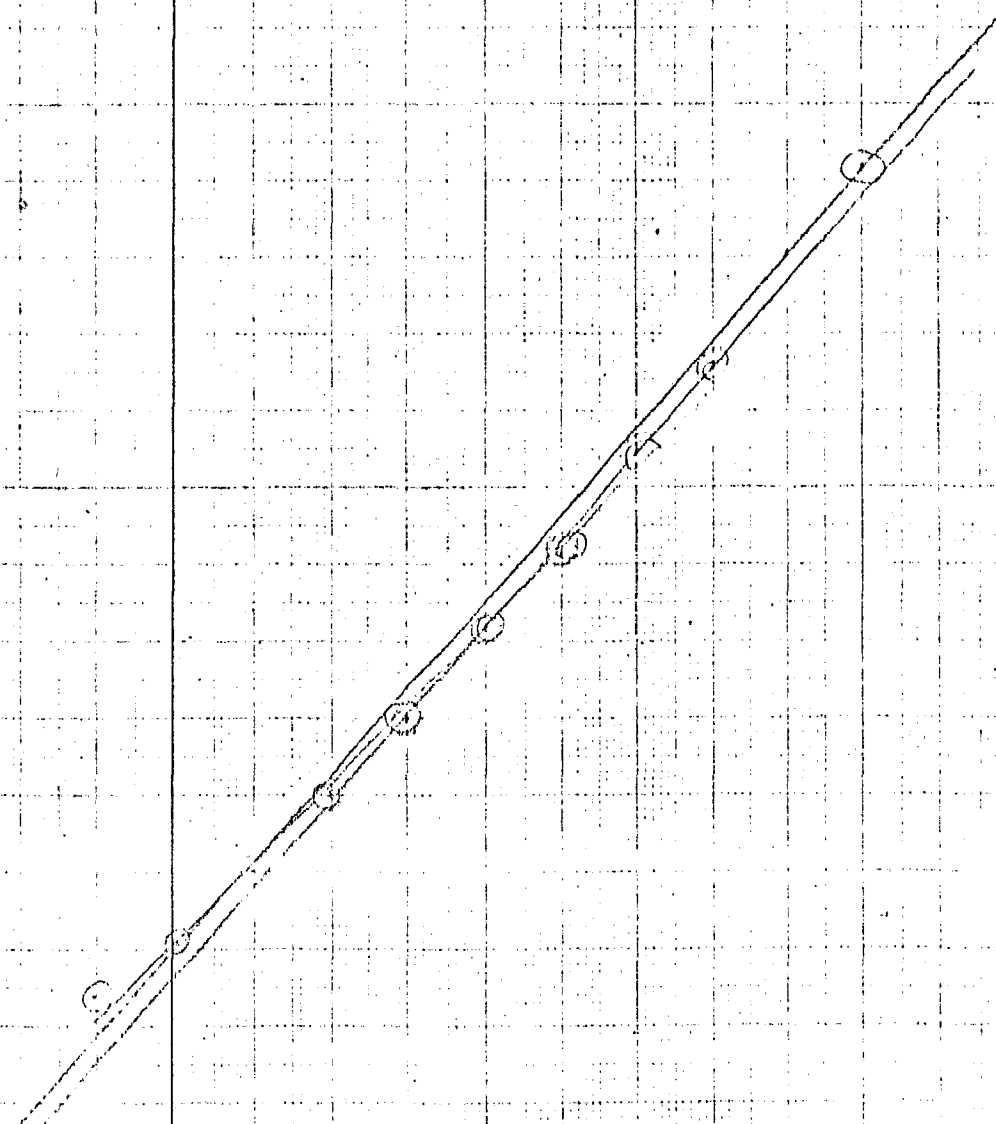
LOS FRUTOS DE LA APOLLONIA



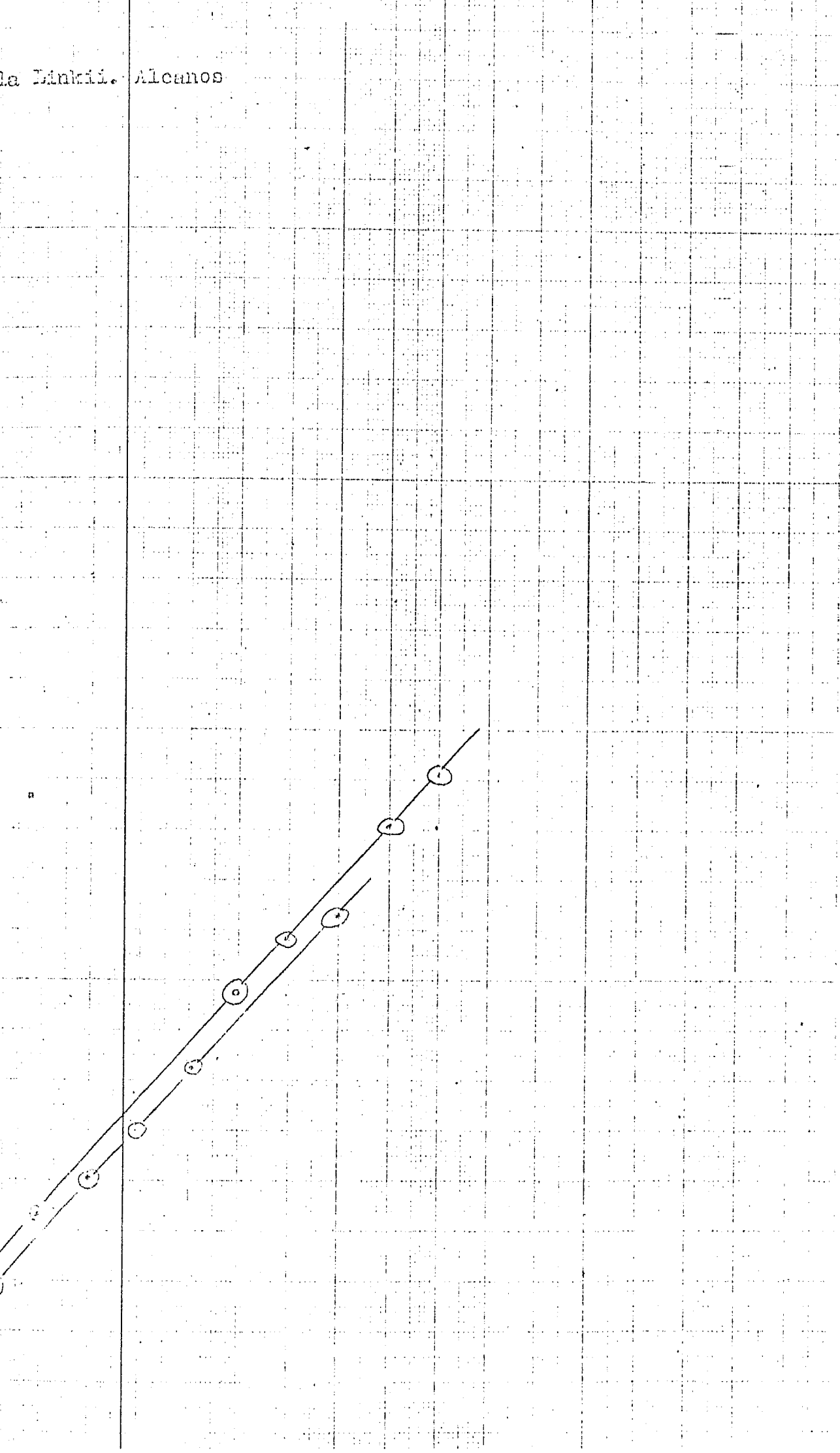
LAMOS EN UN PLEOGRAMA.



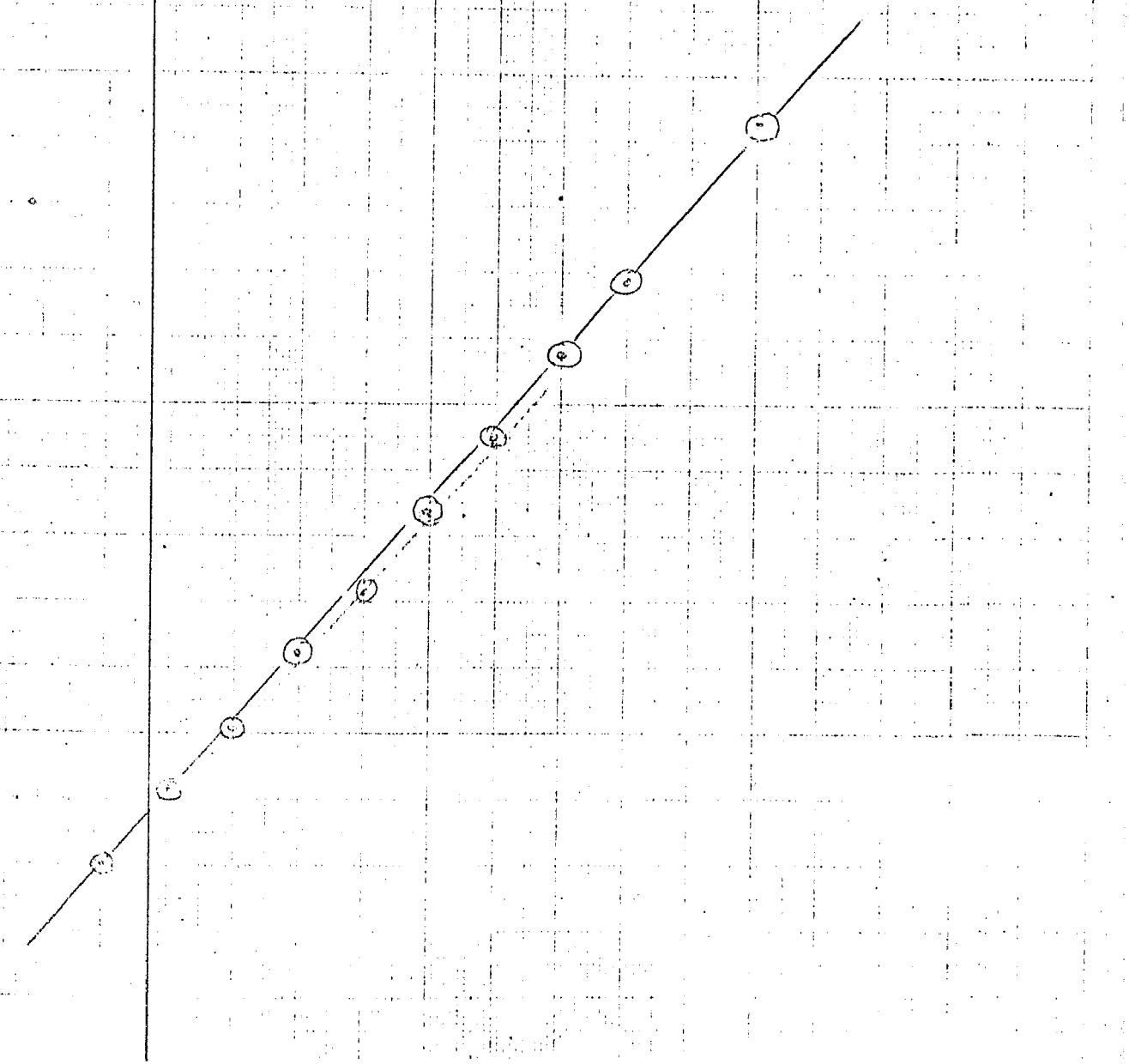
AICANOS ASTYDAMIA

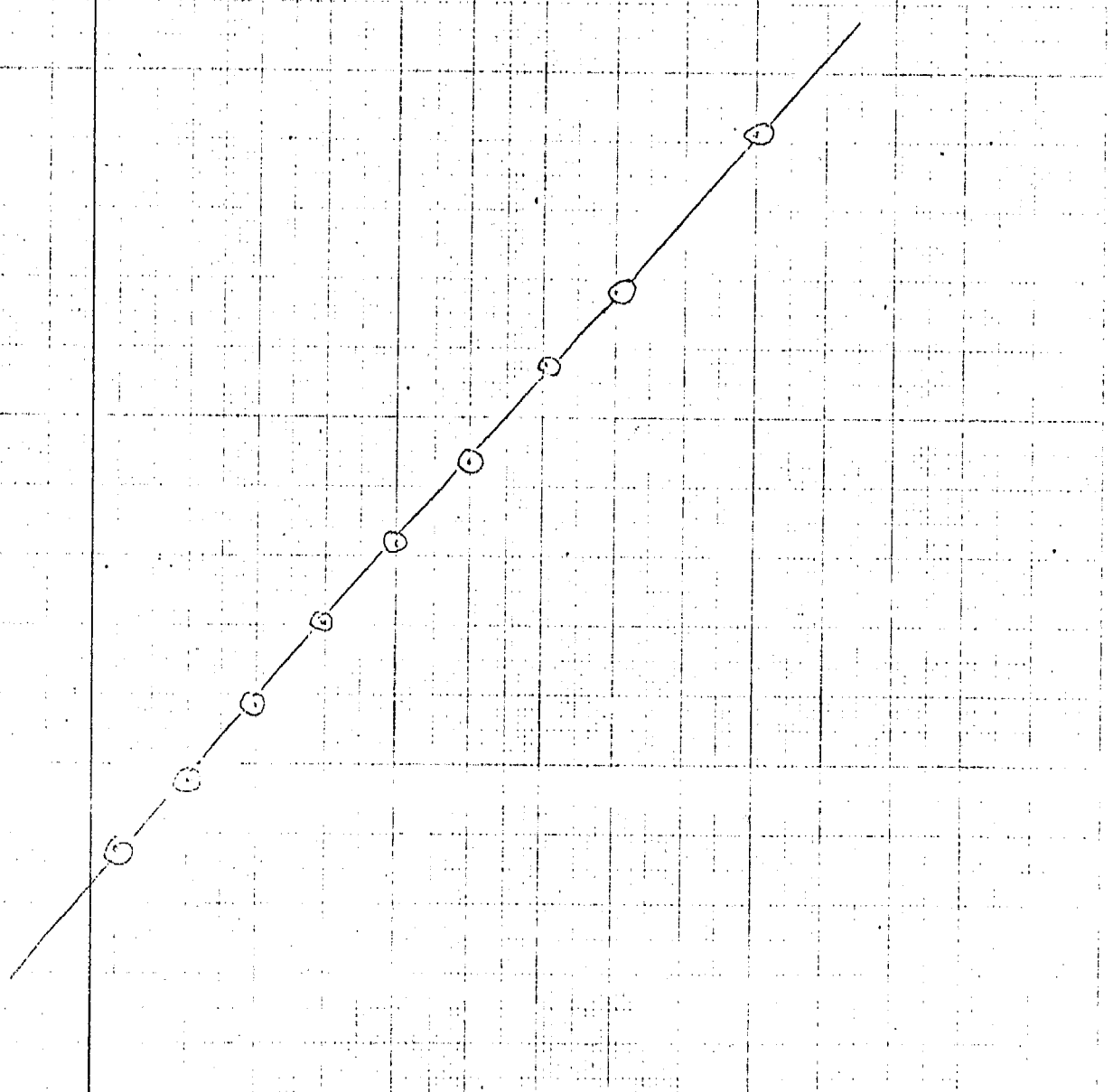


la Binkii. Alcanos.

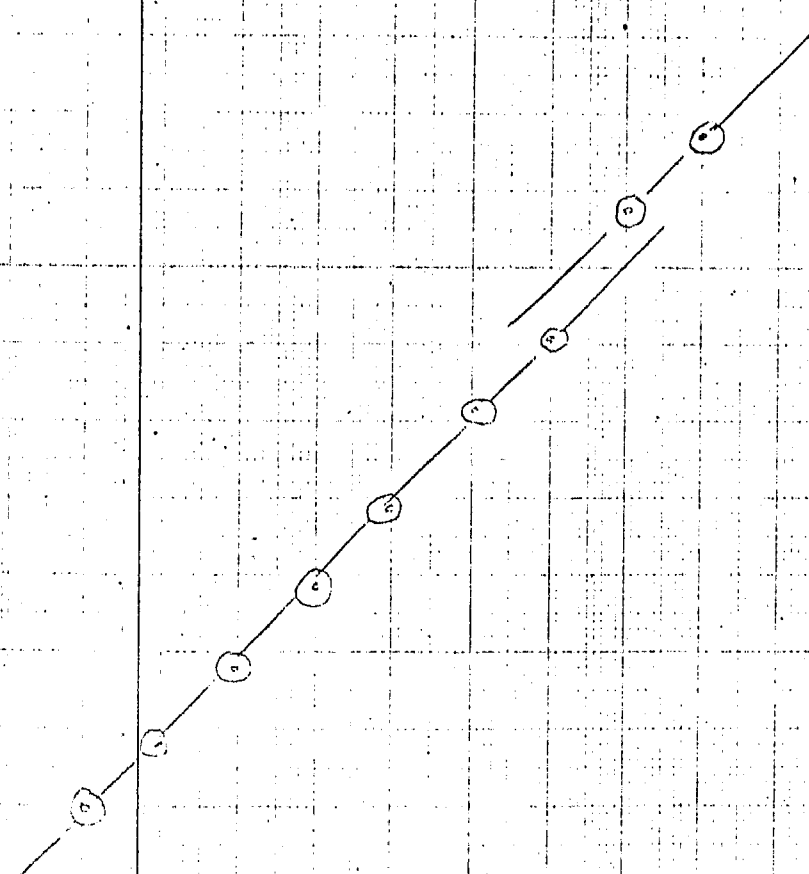


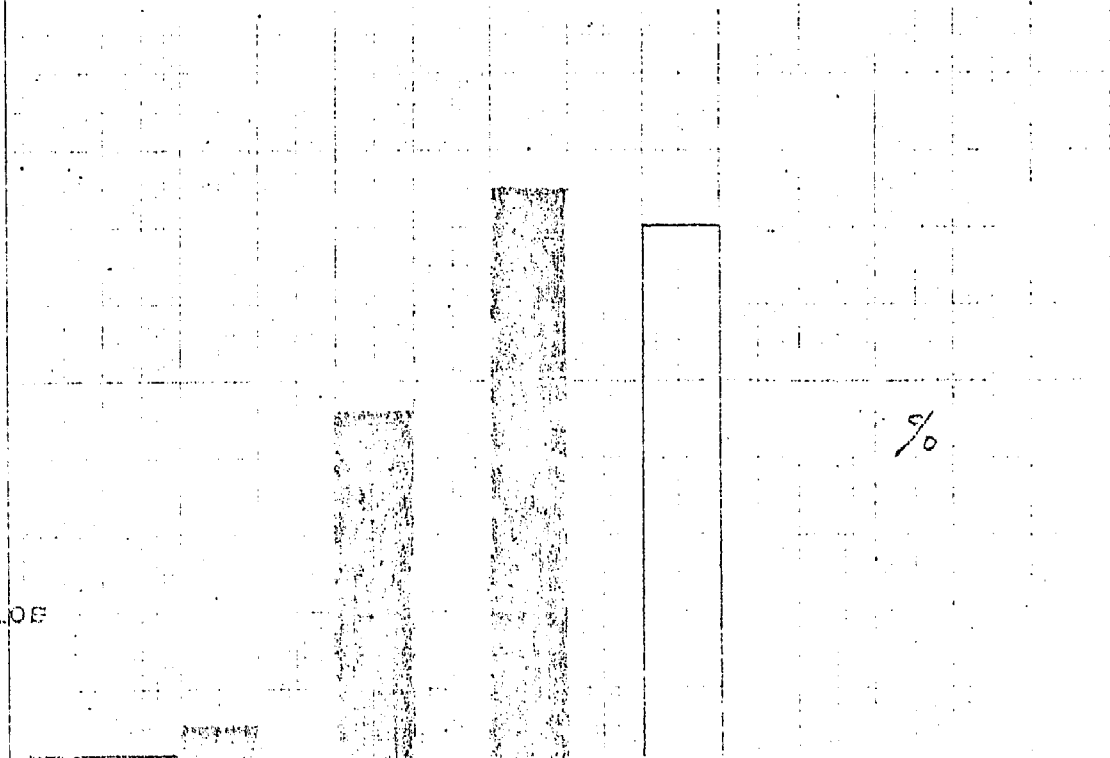
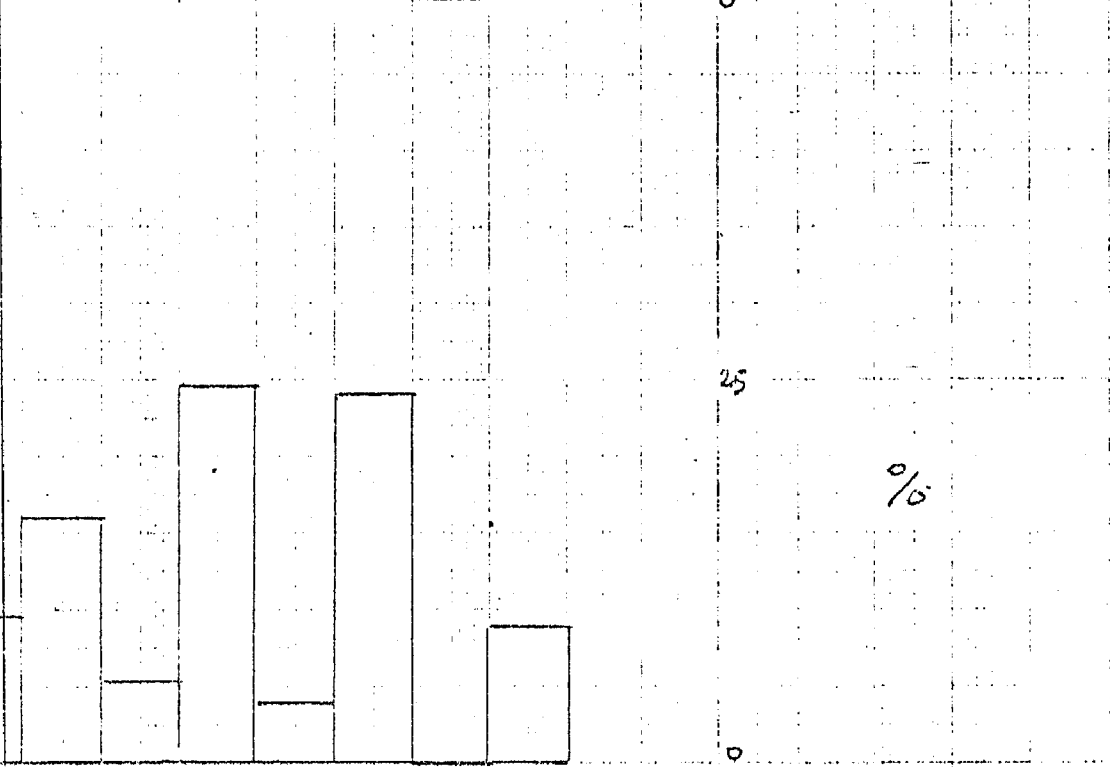
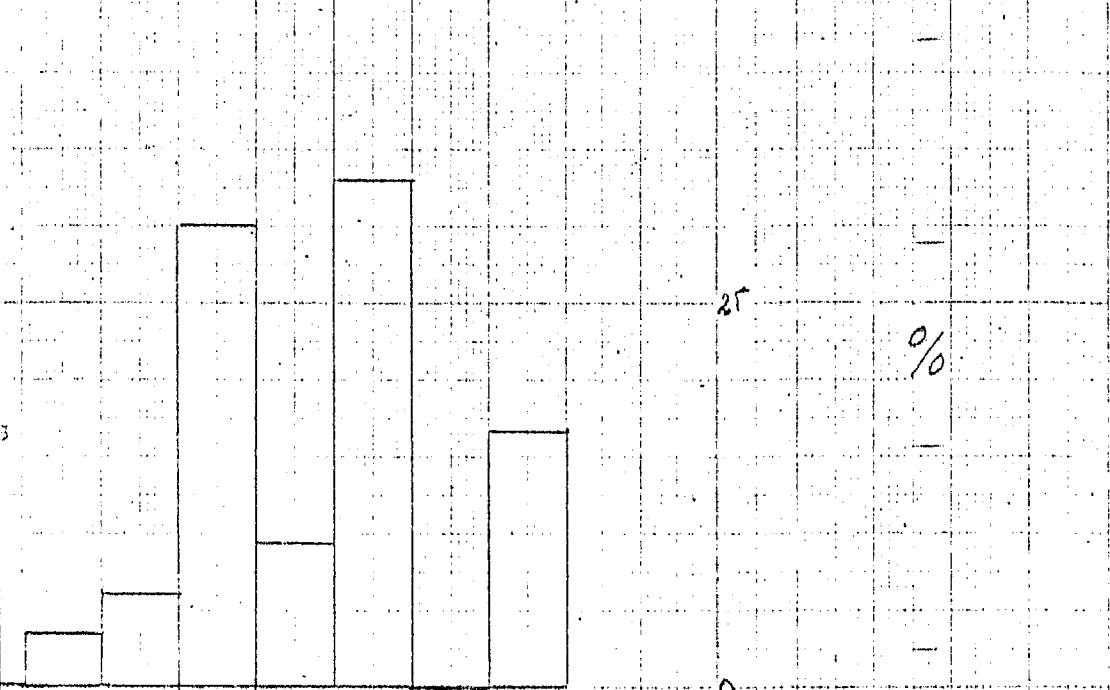
ALCANDO TETROSELINUM MORTVANAE





S HIFERICUM REFLECTUM





etens

23 24 25 26 27 28 29 30 31 32 33 34 35 36 37 38 39 40 41 42 43 44 45 46 47 48 49 50 51 52 53 54 55 56 57 58 59 60 61 62 63 64 65 66 67 68 69 70 71 72 73 74 75 76 77 78 79 80 81 82 83 84 85 86 87 88 89 90 91 92 93 94 95 96 97 98 99 100

25

%

ersea Indice

cotea Fosters

llanía Detalles

23 24 25 26 27 28 29 30 31 32 33 n° atomos de C

24

%

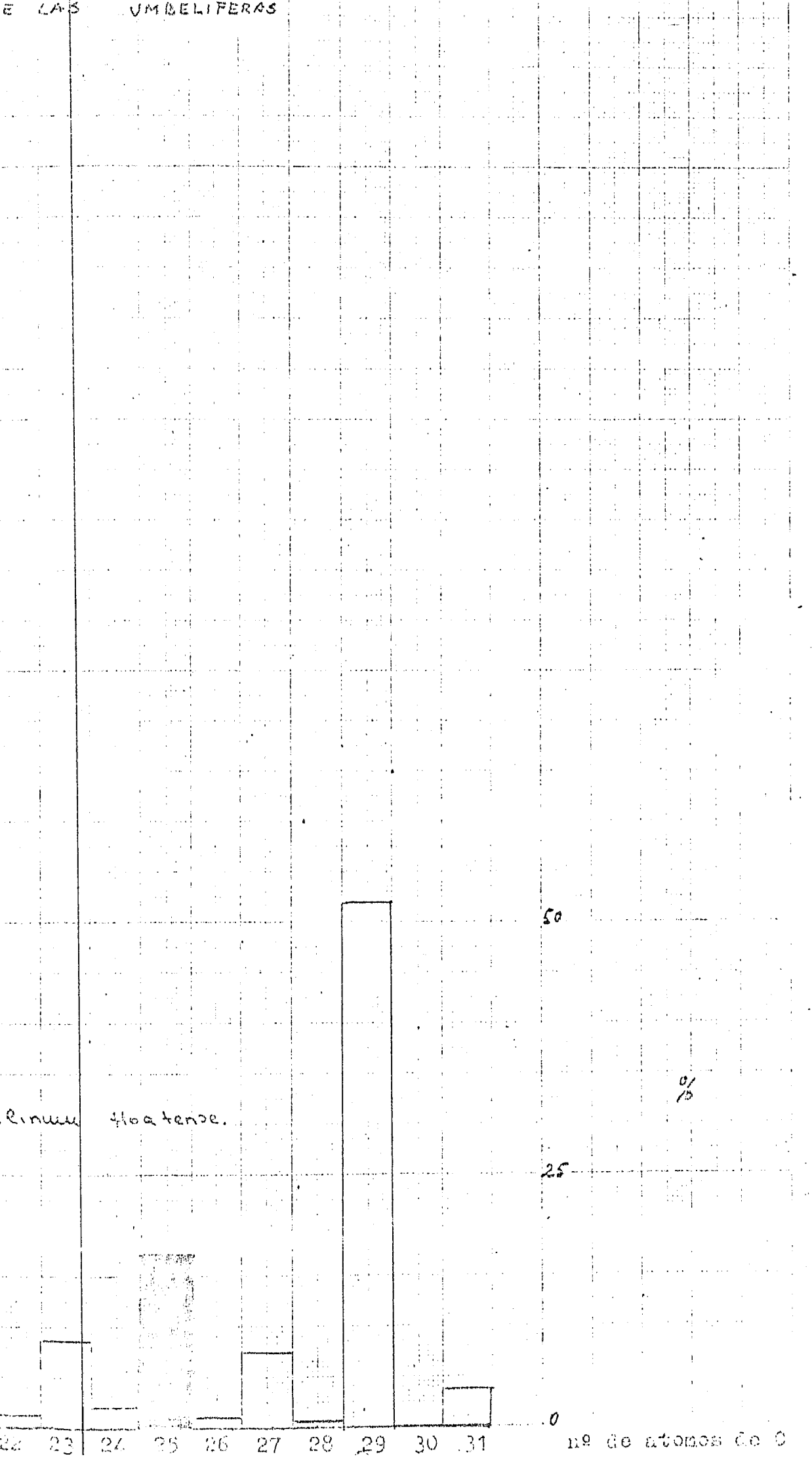
25

%

26

27

%



25

%

0

25

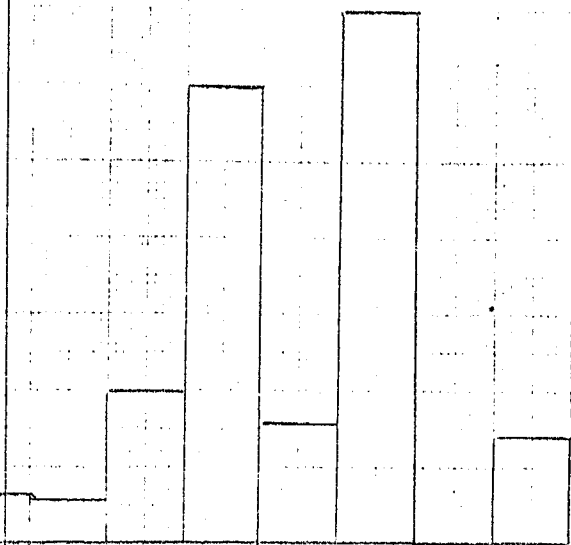
%

0

25

%

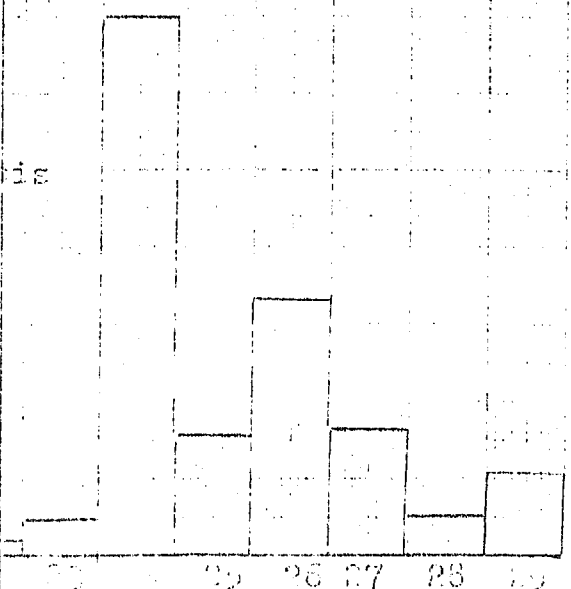
Acum. Reflexum



26

%

Acum. Caracteristicas

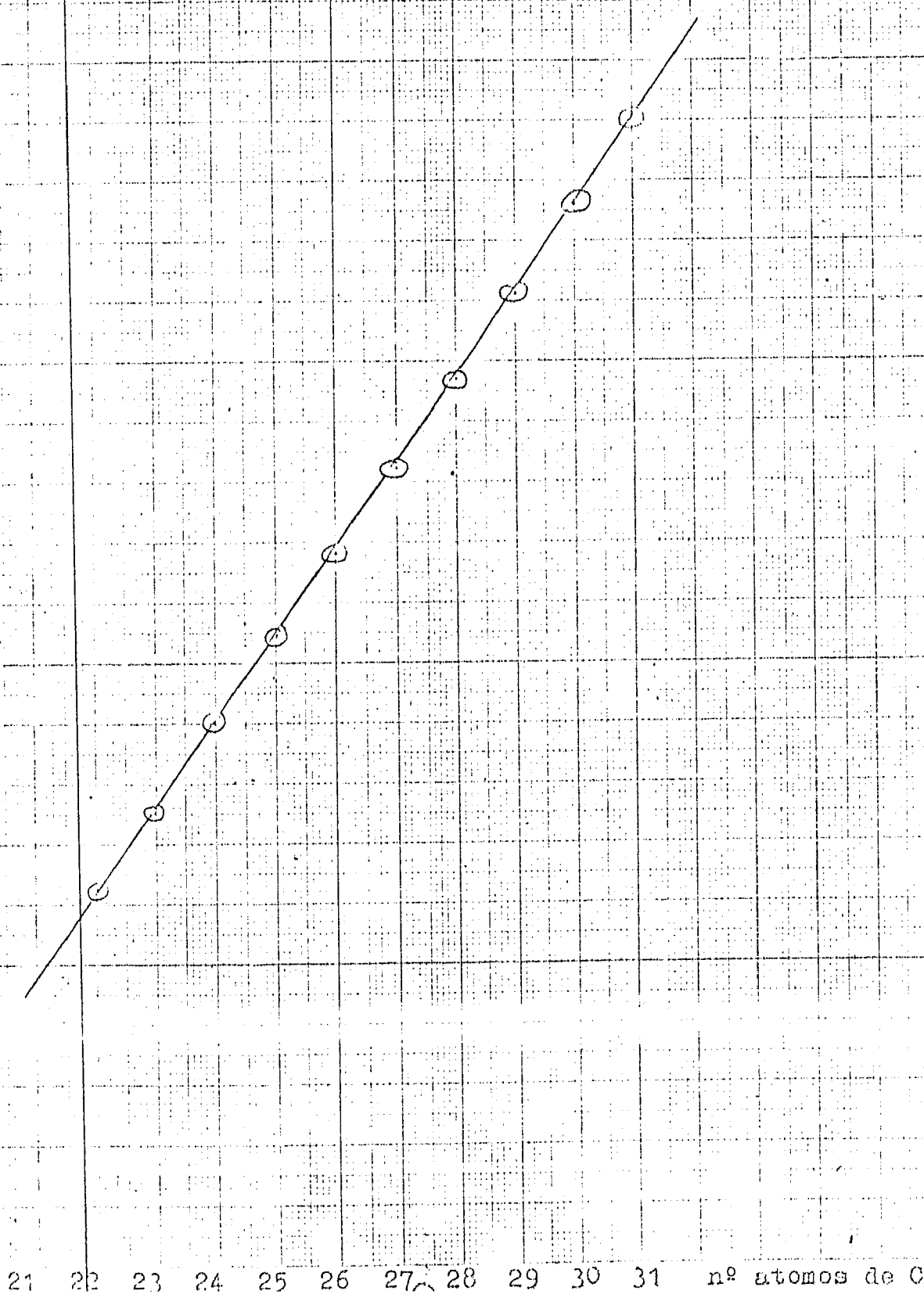


25

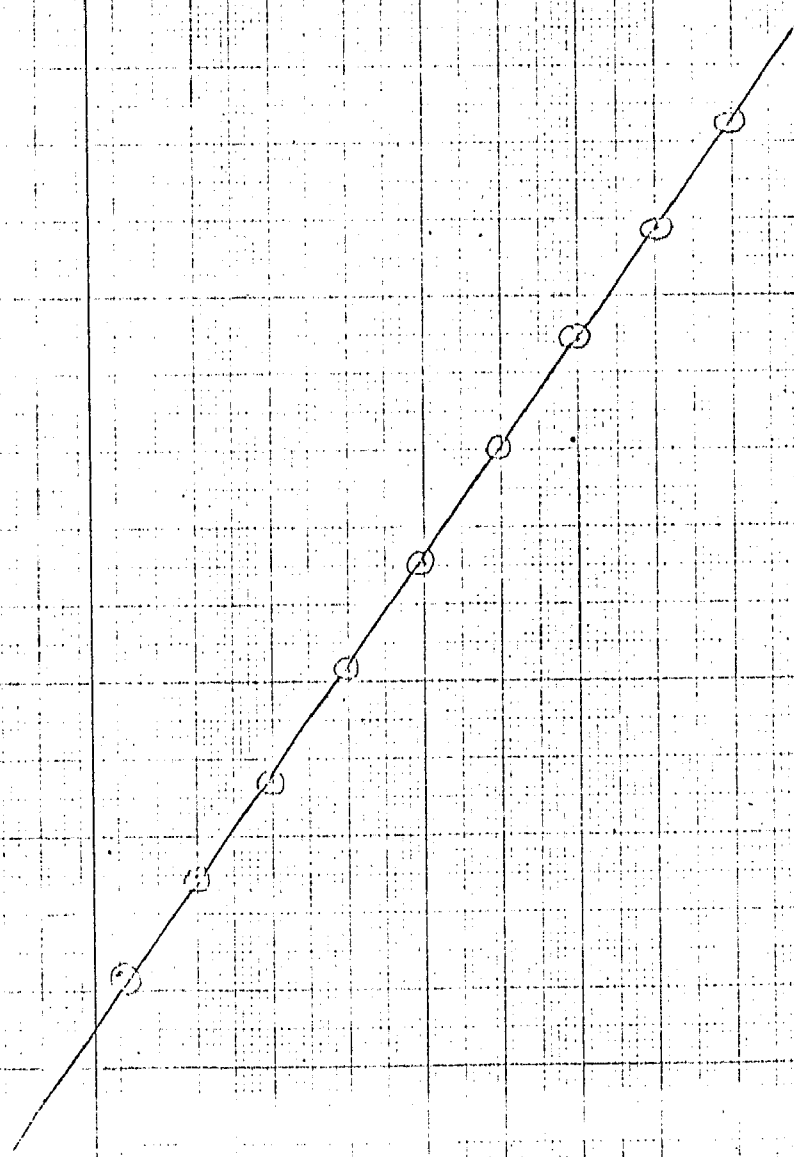
%

nº de atomas de C

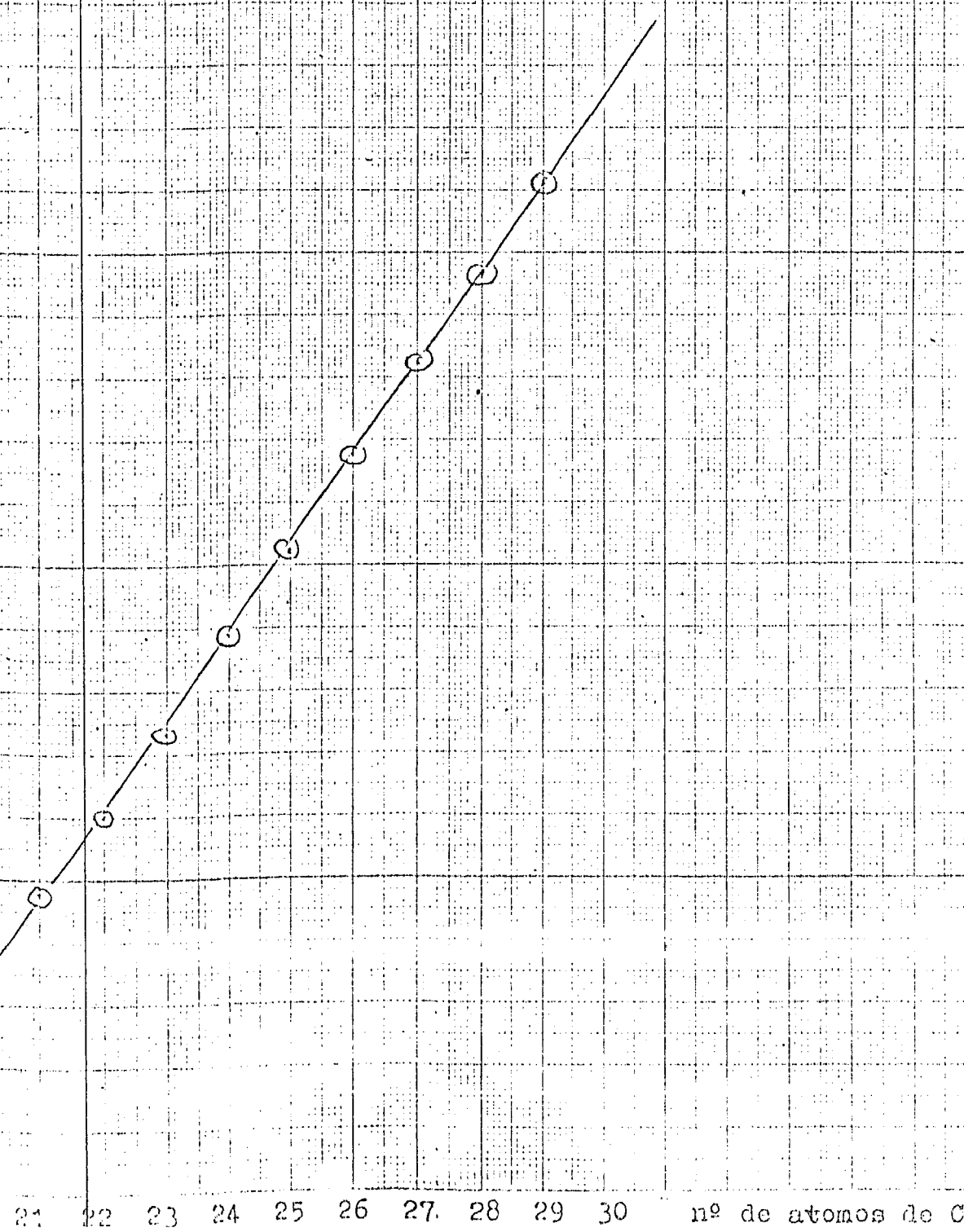
aurus Canariensis F: Po/BE 5%



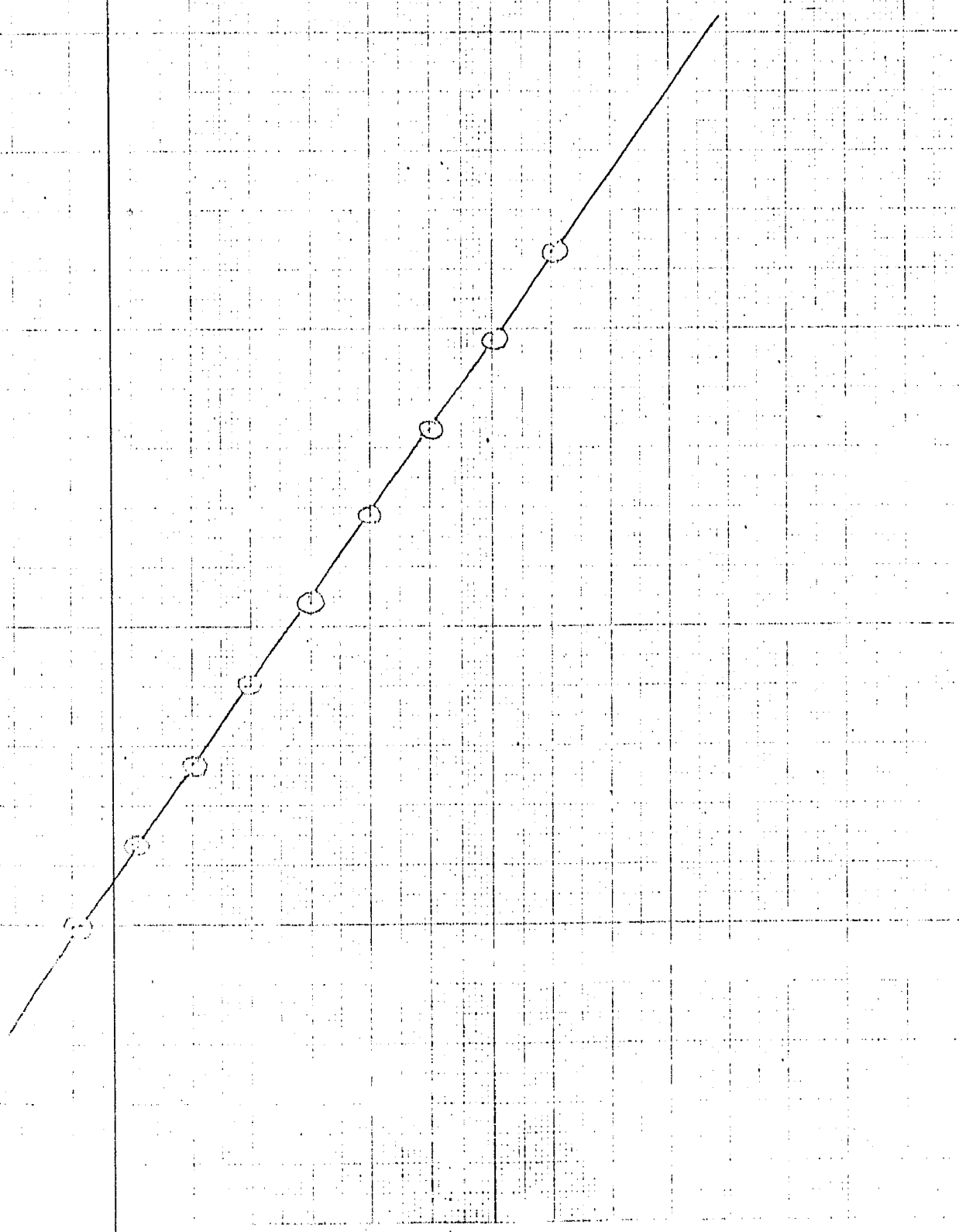
rsea. Indica - F: Pe/Be 5 %



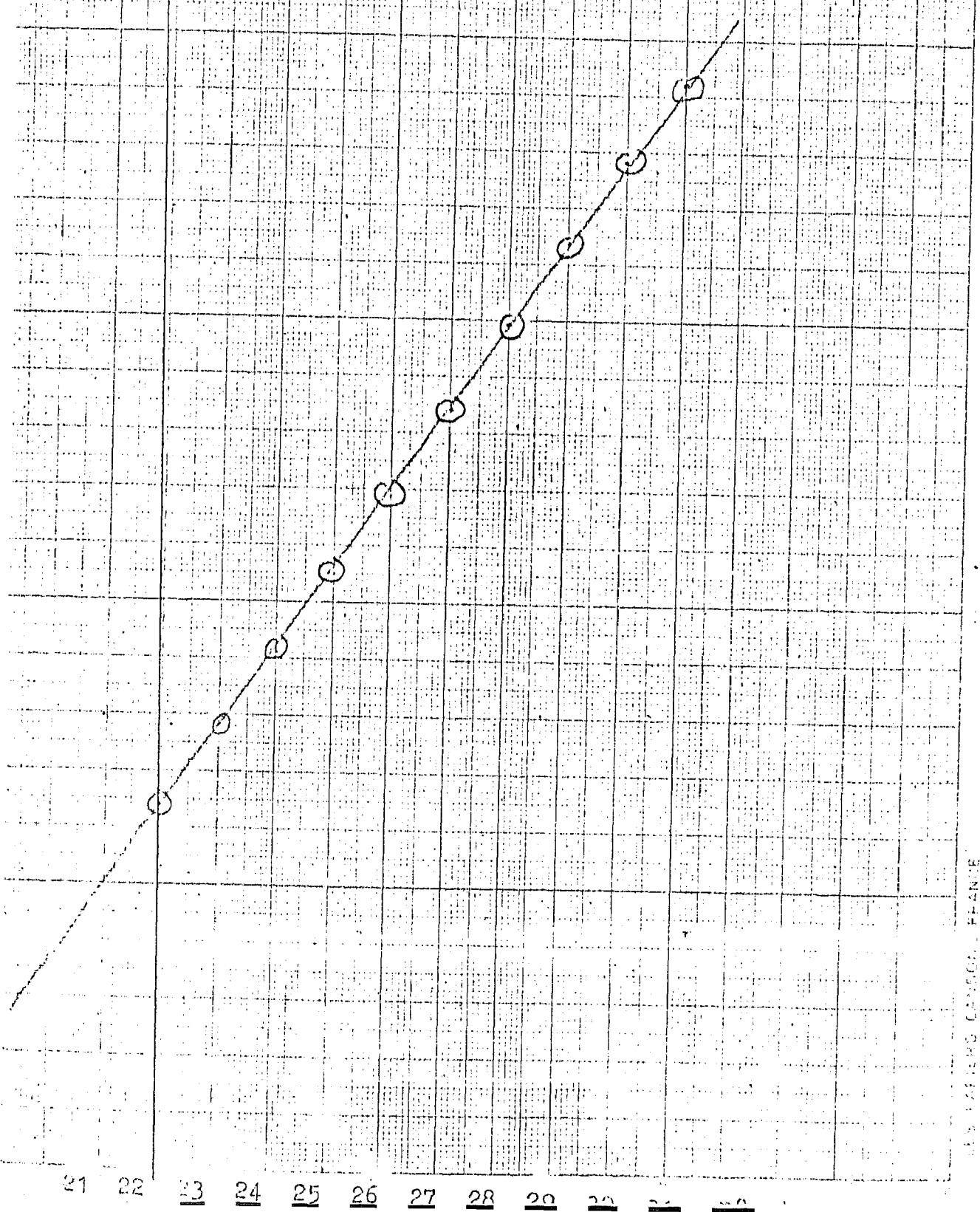
Apollonia - F: Po/Be 5 %



cerum S. F. 2e/De 5 %



inkii F: Pb/Be 5 %



PETROSELINUM KORTENAE Pe 1% 5%



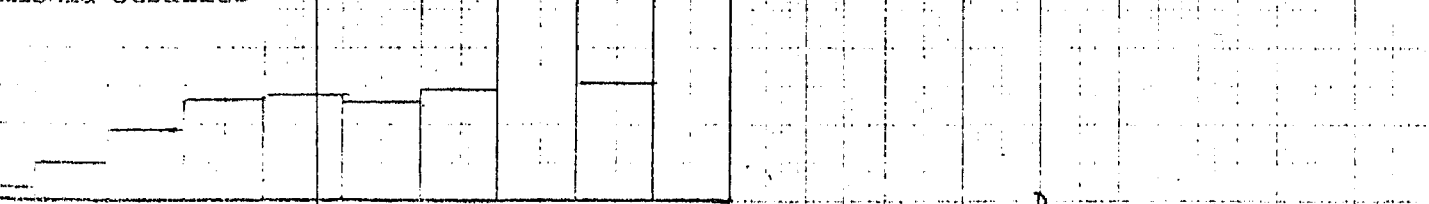
Curus Canariensis



25 %

0

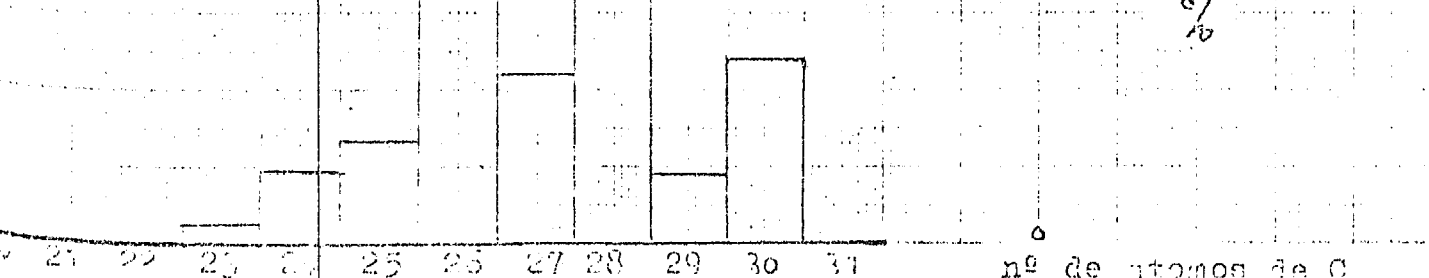
Ulloria Ceballos



25 %

0

Uva Indica

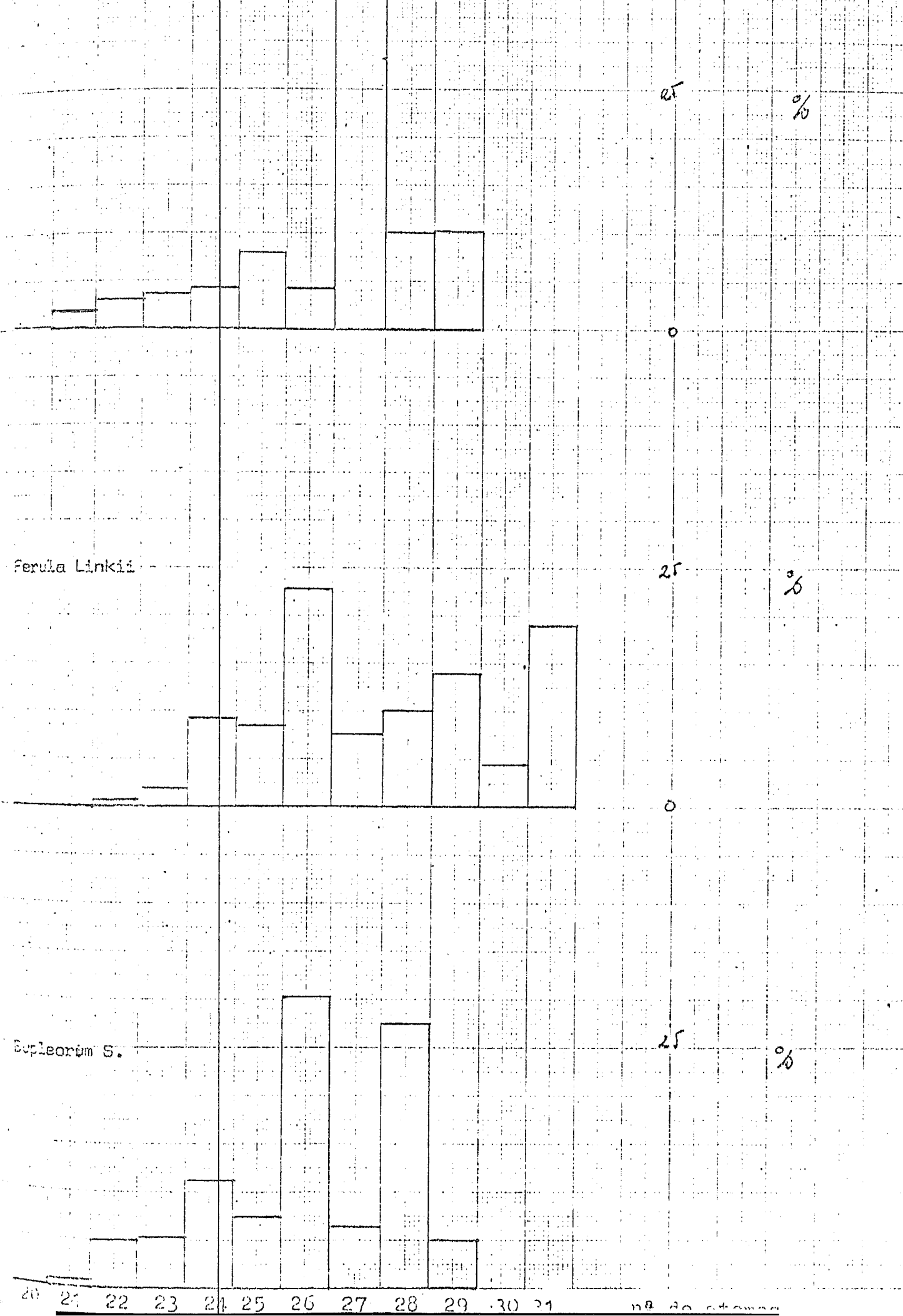


25 %

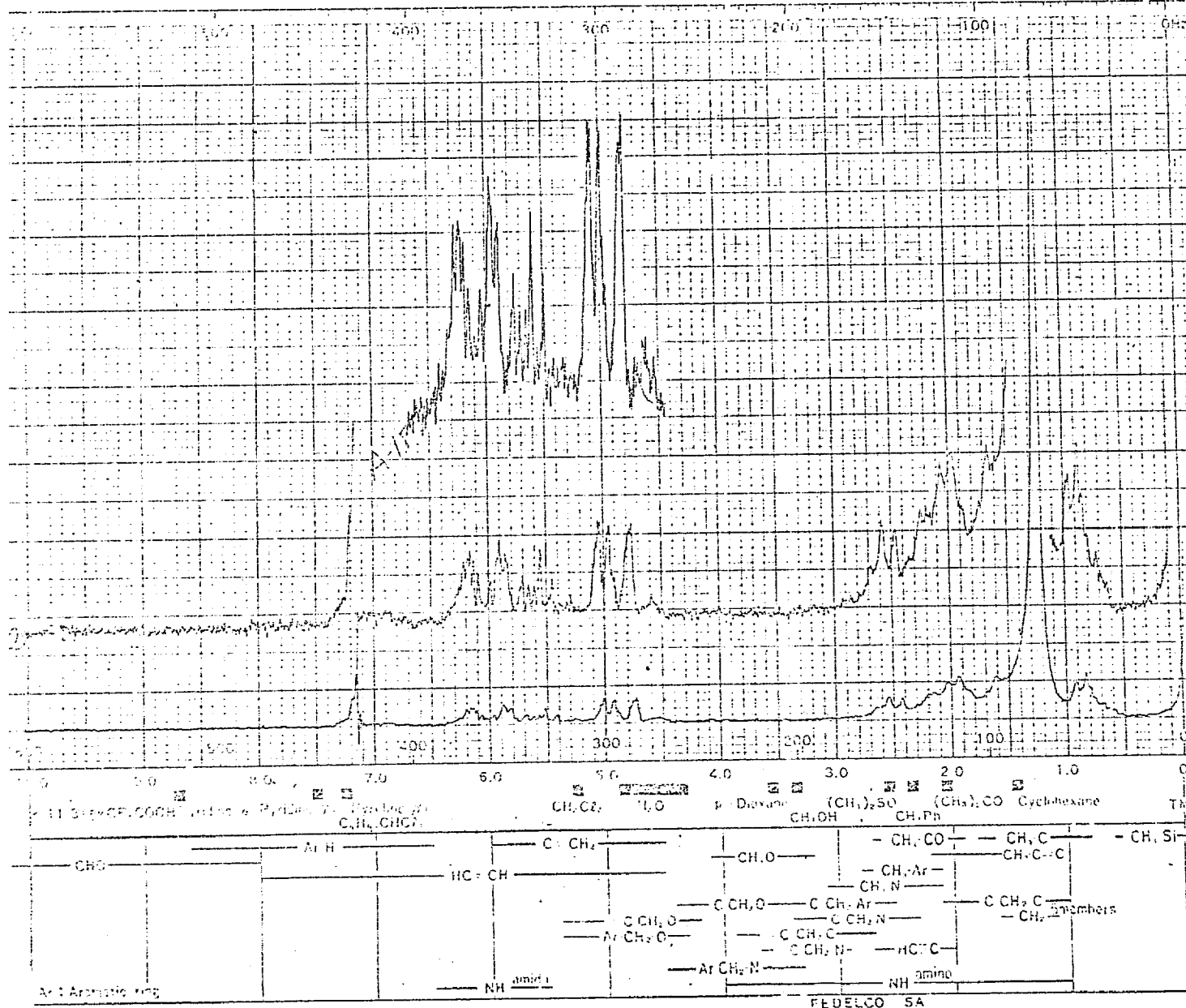
0

nº de átomos de C

21 22 23 24 25 26 27 28 29 30 31



ESPECTROS



H SPECTRUM NO :
SAMPLE : *100 mg*

F Picado
F EPE - BE 20%
ALQUÉMIA

REFERENCE: TMS
SOLVENT: CDL₃
CONC.: -
AMPLITUDE: 8
SPECTRUM: -
INTEGRAL: . . .

H₁ LEVEL:
H₂ LEVEL:
GAIN:

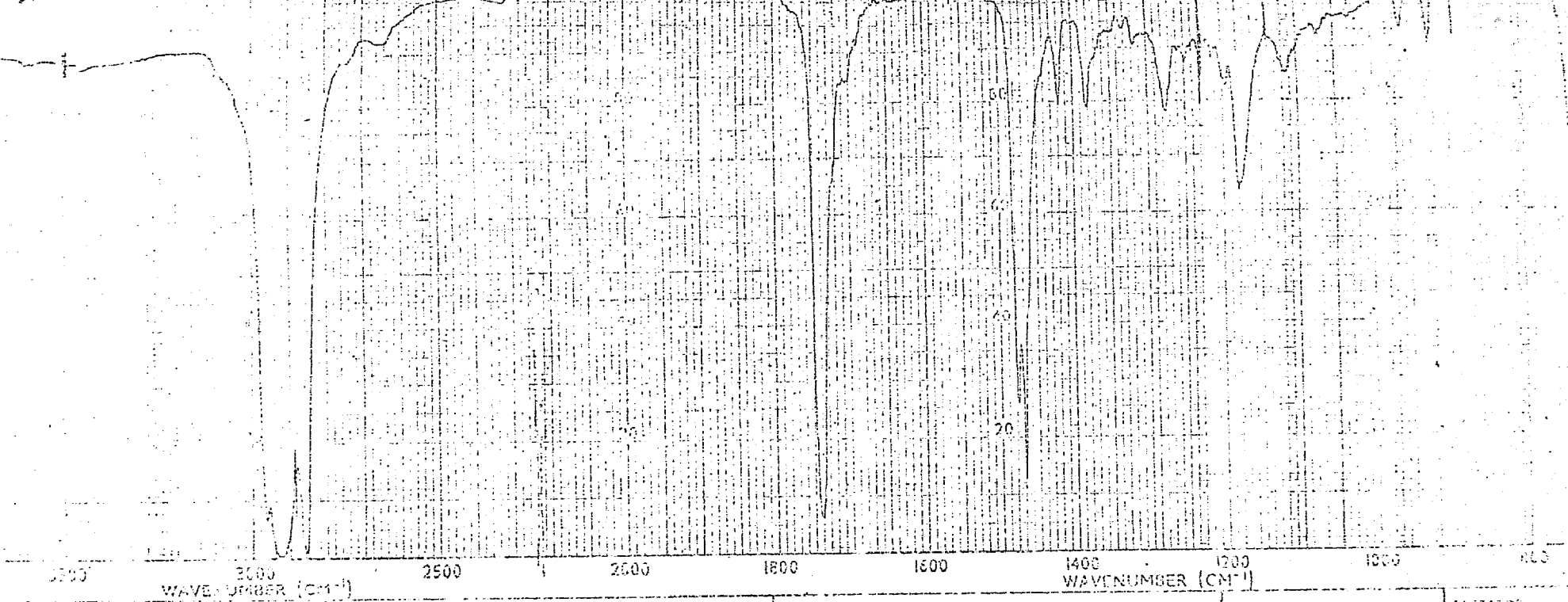
SWEET WIDTH:
100 1000 10000 100000 1000000

SWEET TIME:
X 300 150 SEC 00
DATE:

OPERATOR: *AL-44-39*

REMARKS:

Ultraviolet
a very strong
light = ultra



Miguel

WAVENUMBER (CM⁻¹)

SOLVENT	Film
CONCENTRATION	Biphasic S.
CELL PATH	0.05 mm 7.5-10

REMARKS
Fraccion PE-BE 20%

SCAN SPEED
SLIT
INFRALUMINAR
PART NO. 472-6030

CHEMATOR
DATE
REF. NO.